

وزارت جهاد کشاورزی
سازمان تحقیقات، آموزش و ترویج کشاورزی
موسسه تحقیقات علوم شیلاتی کشور - پژوهشکده میگوی کشور

عنوان:

بررسی تفاوت‌های ژنتیکی موجود در
میگوهای سفید غربی نسلهای مختلف

مجری:

محمدخلیل پذیر، محمدمهدی سیمروانی

شماره ثبت

۵۱۰۹۶

وزارت جهاد کشاورزی
سازمان تحقیقات، آموزش و ترویج کشاورزی
موسسه تحقیقات علوم شیلاتی کشور - پژوهشکده میگوی کشور

عنوان پژوهه: بررسی تفاوت‌های ژنتیکی موجود در میگوهای سفید غربی نسلهای مختلف
شماره مصوب پژوهه: ۹۳۰۱-۹۳۵۲-۱۲۵۲-۸۰-۱۳۴

نام و نام خانوادگی نگارنده/ نگارنده‌گان: محمد خلیل پذیر

نام و نام خانوادگی مجری مسئول (اختصاص به پژوهه‌ها و طرحهای ملی و مشترک دارد) : -

نام و نام خانوادگی مجری / مجریان: محمدخلیل پذیر (مجری موسسه)، محمد مهدی سیمرونی (مجری دامپزشکی بوشهر)

نام و نام خانوادگی همکار(ان): بابک قائدنیا، محمد پور کاظمی، خسرو آئین جمشید، عباس متین فر، محمد افشارنسب، قاسم غریبی، سید ابراهیم صفوی، عباسعلی زنده‌بودی ، مرتضی بحرانی، زینب نوروزی، هادی رضایی، محمود شمالی

نام و نام خانوادگی مشاور(ان): سید احمد قاسمی

نام و نام خانوادگی ناظر(ان): -

محل اجرا: استان بوشهر

تاریخ شروع: ۹۳/۳/۲

مدت اجرا: ۲ سال

ناشر: موسسه تحقیقات علوم شیلاتی کشور

تاریخ انتشار: سال ۱۳۹۶

حق چاپ برای مؤلف محفوظ است . نقل مطالب ، تصاویر ، جداول ، منحنی ها و نمودارها با ذکر مأخذ بلامانع است .

«سوابق طرح یا پروژه و مجری مسئول / مجری»

پروژه : بررسی تفاوت‌های ژنتیکی موجود در میگوهای سفید غربی
نسلهای مختلف

کد مصوب : ۱۳۴-۸۰-۱۲۵۲-۹۳۵۲-۹۳۰۰۱

شماره ثبت (فروست) : ۵۱۰۹۶ تاریخ : ۹۵/۱۱/۲

با مسئولیت اجرایی جناب آقای محمدخلیل پذیر دارای مدرک
تحصیلی دکتری تخصصی در رشته بهداشت و بیماریهای آبزیان
می‌باشد.

پروژه توسط داوران منتخب بخش بهداشت و بیماریهای آبزیان در
تاریخ ۹۵/۸/۱۸ مورد ارزیابی و با رتبه خوب تأیید گردید.

در زمان اجرای پروژه، مجری در :

ستاد □ پژوهشکده ■ مرکز □ ایستگاه

با سمت عضو هیئت علمی در پژوهشکده میگوی کشور مشغول بوده
است.

۱	چکیده
۲	۱- مقدمه
۷	۲- مواد و روش کار
۷	۱-۲- تعیین تاریخچه واردات مولدین میگوی سفید غربی به کشور
۸	۲-۲- تعیین شاخص های ژنتیکی پیش مولدین نسل صفر (F_0)
۹	۲-۲-۱- نمونه گیری از پیش مولدین نسل صفر (F_0) و میگوهای نسل های مختلف
۹	۲-۲-۲- استخراج ماده ژنتیکی DNA
۱۰	۲-۲-۳- تعیین کیفیت و کمیت ماده ژنتیکی استخراج شده
۱۱	۲-۲-۴- نسل های مختلف میگوی سفید غربی عاری از بیماری خاص
۱۲	۲-۲-۵- تعیین تفاوت های ژنتیکی نسل های مختلف میگوی عاری از بیماری خاص
۱۲	۲-۴-۱- تکثیر ناحیه DNA 16S rRNA میتوکندریالی
۱۲	۲-۴-۲- بهینه سازی آغازگر واکنش PCR
۱۲	۲-۵-۱- بهینه سازی آغازگر منطقه 16S rRNA میتوکندریال
۱۳	۲-۵-۲- تکثیر منطقه 16S rRNA میتوکندریال
۱۴	۲-۶- ارزیابی کیفیت محصولات PCR حاصل از آغازگر 16S rRNA میتوکندریال
۱۴	۲-۷-۱- توالی یابی محصولات PCR
۱۴	۲-۷-۲- بازسازی توالی های هر نمونه
۱۵	۲-۷-۳- آنالیز فیلوزنتیک توالی ها با استفاده از نرم افزارها
۱۷	۲-۷-۴- تجزیه و تحلیل داده های بدست آمده
۱۸	۳- نتایج
۱۸	۱-۳- نتایج تعیین توالی منطقه DNA 16S rRNA میتوکندریال
۲۰	۲-۳- مقایسه اولیه توالی های منطقه DNA 16S rRNA میتوکندریال با سایر توالی های مشابه
۲۲	۳-۳- همردیفی توالی های ناحیه 16S rRNA نسل های مختلف میگو
۲۳	۳-۴- همردیفی اولیه توالی های ناحیه 16S rRNA نسل های مختلف میگو با توالی های موجود در بانک جهانی ژن
۲۴	۳-۵- ترکیب نوکلئوتیدی حاصله از همردیفی توالی های ناحیه 16S rRNA نسل های مختلف میگو

عنوان	صفحة	«فهرست مندرجات»
-------	------	-----------------

۳-۶- تخمین الگوی جانشینی نوکلئوتیدی برای بازها.....	۲۵	۲۵
۳-۷- شاخص‌های ژنتیکی نسل‌های مختلف میگویی سفید غربی عاری از بیماری خاص.....	۲۵	۲۵
۳-۸- آنالیز فیلوجنتیک توالی 16S rRNA میتوکندریال نسل‌های مختلف میگو.....	۲۶	۲۶
۴- بحث.....	۳۱	۳۱
۵- نتیجه گیری.....	۳۵	۳۵
منابع.....	۳۶	۳۶
چکیده انگلیسی.....	۳۹	۳۹

چکیده

در این مطالعه سعی شد بعد از تعیین تاریخچه و منشاء ورود مولدهای میگوی سفید غربی مراکز تکثیر کشور دو جمعیت مولوکائی و های‌هلث به عنوان مولدهای نسل صفر میگوی عاری از بیماری خاص در نظر گرفته شدند. از آمیزش درون گروهی و بین گروهی صورت گرفته میان مولدهای نر و ماده دو جمعیت فوق در نهایت سه ذخیره مختلف $\text{M} \times \text{H}$ ، $\text{M} \times \text{H}^*$ و $\text{H} \times \text{H}^*$ در نسل اول تولید شدند که در ادامه میگو‌های ذخیره جهت تولید میگو‌های نسل دوم بکار برده شدند. لذا هدف از این مطالعه تعیین تفاوت‌های ژنتیکی میان نسل‌های مختلف میگوی سفید غربی عاری از بیماری خاص در بررسی ژنوم منطقه 16S rRNA میتوکندریال بود. نتایج حاکی از آن بود که از ۴۸۶ جایگاه شناسایی شده ۴۸۲ جایگاه بصورت محافظت شده مشاهده شد. جایگاه مونومورف در دامنه ۴۸۲-۴۸۶ قرار داشت و شامل ۲ جایگاه پلیمورف و ۲ جایگاه انتقالی بود. این در حالی بود تنها ۲ هاپلوتیپ شناسایی شد که میزان تنوع هاپلوتیپی و تنوع نوکلئوتیدی محاسبه شده به ترتیب 0.356 ± 0.159 و 0.147 محاسبه شد، که این میزان حاکی از پائین بودن میزان تنوع هاپلوتیپی و نوکلئوتیدی در نسل‌های مختلف میگوی سفید غربی بود. همچنین با توجه به شbahت بالای ژنتیکی نسل‌های مختلف میگو و کاهش فاصله ژنتیکی میان آنها میزان تمایز ژنتیکی و جریان ژنی بین نسل‌های مختلف میگو به ترتیب 0.142 و 0.200 - 0.142 - 0.200 بود که این حالت ممکن است به دلیل کوچک شدن جمعیت مؤثر و رانش ژنتیکی اتفاق افتاده باشد. لذا با توجه به اینکه ژنوم میتوکندری از مادر به فرزندان به ارث می‌رسد، انتظار می‌رود که میزان تنوع در این ژنوم تحت تأثیر عوامل متعددی از جمله رانش ژنتیکی به دلیل عدم دسترسی به مولدهای جدید قرار گرفته باشد. از این رو مشاهده شد که به دلیل حفاظت بالای ژنوم میتوکندری در منطقه 16S rRNA هیچگونه تمایز ژنتیکی میان نسل‌های مختلف میگوی عاری از بیماری خاص مشاهده نشد.

کلمات کلیدی: میگوی سفید غربی، ژنوم میتوکندری، قطعه 16s rRNA، تمایز ژنتیکی

۱- مقدمه

از نقطه نظر طبقه بندی میگوها در شاخه بندپایان، رده سخت پوستان، فوق راسته ده پایان، خانواده پنائیده قرار می‌گیرند و از ۱۲ جنس و ۳۰۰ گونه تشکیل شده‌اند. بعضی از گونه‌ها به زیر گونه و نژادها تقسیم می‌شوند. در حال حاضر زیر گونه پائین‌ترین سطح قابل ذکر رده بندی است و به عنوان تجمع مجزای جغرافیایی جمعیت‌های محلی گونه تعریف می‌شوند. به عبارت دیگر زیر گونه‌ها گروه‌هایی از جمعیت‌های آمیزش کننده با تفاوت‌های شدید موfoلوژیکی همراه با تمايزهای جغرافیایی، اکولوژیکی، تغذیه‌ایی یا فیزیولوژیکی هستند. اگر به زیر گونه‌های مختلف یک گونه فرصت داده شود باید قادر باشند تا با هم آمیزش کنند (رهنمای همکاران، ۱۳۹۰). شایان ذکر است که از مهمترین خصوصیات یک گونه وجود جمعیت مختلف در آن گونه است، در واقع جمعیت‌ها گروهی از افراد یک گونه بوده که در یک محدوده جغرافیایی محدود و مشخص با همدیگر زندگی می‌کنند و قادرند ژن‌های خود را بطور مساوی از نسلی به نسل دیگر منتقل نمایند (فریلاند، ۱۳۸۹).

از این میان گونه‌های مختلف میگو، گونه پنهوس سمی سولکاتوس (ببری سبز)، پنهوس ایندیکوس (سفید هندی)، لیتوپنهوس وانامی (سفید غربی)، پنهوس مونودون (ببری سیاه)، میگوی لیتوپنهوس استیلوروستریس (آبی)، ماکروبراکیوم روزنبرگی (آب شیرین)، پنهوس مرگوینسیس (موزی)، متاپنهوس آفینیس (سفید) و پاراپنهوسیس استیلیفر (میگوی خنجری) از گونه‌های مورد استفاده در صنعت تکثیر و پرورش میگو محسوب می‌شوند. با توجه به آغاز تکثیر و پرورش از سال ۱۹۳۴ امروزه بالغ بر ۵۰ کشور به این صنعت روی آورده‌اند به گونه‌ای که بر اساس آخرین آمار سازمان خوار و بار جهانی فائو میزان تولید این آبزی در سال ۲۰۱۴ میلادی به رقمی بالغ بر ۵۴ میلیون تن رسیده است.

در سال‌های اخیر از میان گونه‌های فوق برخی از گونه‌ها از جمله گونه وانامی به واسطه داشتن برخی از ویژگی‌های منحصر به فردی بطور فزآینده‌ای در سرتاسر جهان گسترانیده شده‌اند بطوریکه امروزه بیش از ۹۰ درصد میزان تولیدات صنعت میگو را به خود اختصاص داده است (FAO, 2014). از آنجا که زیستگاه اصلی این گونه سواحل اقیانوس آرام از جنوب مکزیک تا شمال کلمبیا بوده است (Perez Farfante & Kensley 1997)، واردات این گونه به کشور برای اولین بار در سال ۲۰۰۴ میلادی (۱۳۸۳ هجری شمسی) توسط مؤسسه تحقیقات علوم شیلاتی ایران با هدف ایجاد تنوع گونه‌ای و مقابله با مشکلات ناشی از شیوع بیماری لکه سفید در مزارع پرورشی میگویی کشور صورت پذیرفت. لذا در پی افزایش تمايل پرورش دهنده‌گان میگویی کشور به پرورش این گونه، از سال ۱۳۸۴ بخش خصوصی اقدام به واردات این گونه از مناطق مختلف جهان به کشور نمود بطوریکه پس از گذشت چند سال این گونه بطور کامل جایگزین گونه ایندیکوس که سال‌ها به عنوان مهمترین گونه پرورشی کشور به حساب می‌آمد شد.

با توجه به رشد و توسعه سریع صنعت تکثیر و پرورش میگو در جهان عوامل بیماری‌زای تهدید کننده این صنعت از جمله باکتریایی، ویروسی، قارچی نیز سریعاً توسعه پیدا نمودند (Nunan *et al.* 1998). از مهمترین راهکارهای

ارائه شده تولید میگوهای عاری از عوامل بیماریزا^۱ و میگوهای مقاوم به عوامل بیماریزا^۲ جهت مقابله با خسارات ناشی از عوامل بیماریزا در میگوهای خانواده پنائیده بوده است (Pruder *et al.*, 1995; Lotz, 1997). که با انجام این راهکارها از یک سو علاوه بر افزایش تولید میگو در واحد سطح شیوع عوامل بیماریزا نیز بطور قابل ملاحظه‌ای کاهش پیدا کرد (Fegan & Clifford, 2001).

مطالعه بر روی ویژگی‌های ژنتیکی جمعیت‌های مختلف یک گونه از میگو و تجزیه و تحلیل ارتباطات ژنتیکی بین مولدین می‌تواند ابزار مناسبی برای مدیریت شناسایی ژنتیکی و افتراق‌های ژنتیکی در برنامه‌های پرورشی باشد (Allegrucci *et al.*, 1998; Sekino *et al.*, 2002). در این رابطه بطور معمول از نشانگرهای مولکولی استفاده می‌شود. نشانگرها معیارهایی هستند که با استفاده از آن‌ها می‌توان اعضاء یا جمعیت‌های یک گونه یا جنس را از هم تفکیک نمود. نشانگرها را می‌توان به سه دسته، نشانگر موپولوژیکی، سیتوژنتیکی و مولکولی تقسیم بندی نمود. پایه و اساس نشانگرهای موپولوژیک توالی‌های ژنتیکی هستند. در حقیقت نشانگرهای موپولوژیک بازتاب توالی‌های ژنتیکی هستند و به صورت غیر مستقیم می‌توان این نشانگرها را نیز نشانگرهای ژنتیکی محسوب نمود. نشانگرهای ژنتیکی یک بخش ژن یا بخشی از توالی DNA است که جایگاه شناخته شده‌ای بر روی کروموزوم دارد و می‌توان آن را برای شناسایی افراد یا گونه‌ها به کار برد. بطور کلی هر صفتی که بین افراد متفاوت باشد ناشی از تفاوت‌های موجود بین توالی DNA آنها است و این تفاوت‌ها می‌توانند به عنوان مارکر ژنتیکی (مولکولی) به کار برد شوند (Chawla, 2002).

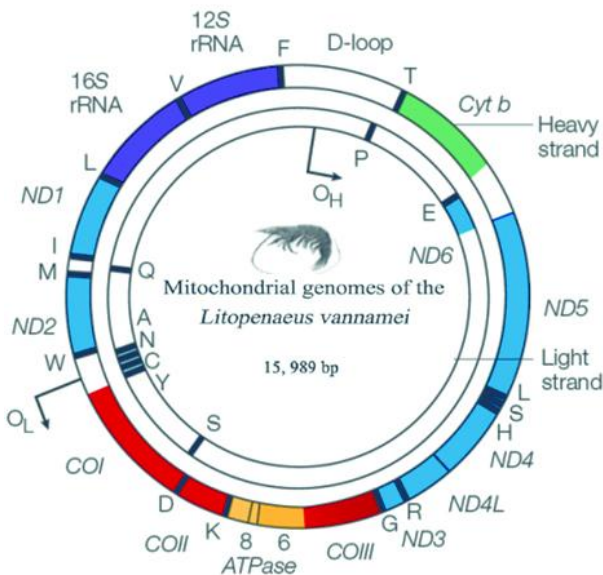
در دهه‌های گذشته، میتوکندری بصورت گسترده به عنوان شاخص ژنتیکی جهت تعیین ساختار ژنتیکی موجودات، ارتباط فیلوژنتیک و الگوهای جریان ژنی مورد استفاده قرار گرفته است (Shen *et al.*, 2007). ساختار ژنوم میتوکندری در میگوهای جنس پنهوس مانند سایر موجودات یک مولکول دو رشته‌ای حلقوی dsDNA است. محتویات آن شامل ۲ ژن RNA ریبوزومی (12S rRNA & 16S rRNA) ۲۲ ژن tRNA و ۱۳ ژن تولید کننده پروتئین است. این ژنوم حاوی یک ناحیه کنترل همانند سازی تحت عنوان d-loop است (Shen *et al.*, 2007). ژنوم میتوکندریایی برخلاف ژنوم هسته فاقد ایترنون بوده بدین معنی که ژن‌ها بصورت متراکم قرار دارند و برخی از ژن‌ها با یکدیگر همپوشانی دارند (رهنما و همکاران، ۱۳۹۰). ژنوم میتوکندری در میگوی وانامی و میگوی چینی به ترتیب دارای ۱۵۹۸۹ جفت باز و ۱۶۰۰۴ جفت باز است (Shen *et al.*, 2007).

مطالعه تنوع ژنتیکی جمعیت‌ها بر اساس نشانگرهای میتوکندریایی جهت بررسی شجره نامه‌ها از طریق ژنوم میتوکندری در عمدۀ کشورهای پیشرفتۀ و توسعه یافته گزارش شده است (Ballinger *et al.*, 1992). نشانگرهای میتوکندریایی در مقایسه یا نشانگرهای دیگر دارای مزیت‌هایی متعددی هستند که مهمترین آنها شامل عدم وقوع

1 -Specific pathogen-free (SPF)

2 -Specific pathogen-resistance (SPR)

نوترکیبی، وراثت مادری، هاپلوباید بودن آن نرخ بالای جهش می‌باشد (سلحشور و همکاران، ۱۳۸۴؛ Calo-Mata *et al.*, 2009). از دیگر مزایایی ژنوم میتوکندری کوچک بودن آن می‌باشد که در نتیجه منجر به این شده که کار کردن با آن راحت‌تر باشد (Hölzle *et al.*, 1991). این ویژگی، میتوکندری را به عنوان یک ابزار مفید جهت تعیین روابط فیلوژنتیک موجودات معرفی نموده است. این نشانگر برای تعیین پیوستگی جمعیت‌ها و تکامل موجودات و آنالیز فیلوژنتیکی یک ابزار مفید و مناسب است (Shih *et al.*, 2011) (شکل ۱).



شکل ۱: ژنوم میتوکندریایی میگوی سفید غربی

raig ترین نشانگرهای میتوکندریایی شامل ژن‌های 12SrRNA، 16SrRNA، COI، COII، COIII، d-loop و ژن سیتوکروم b می‌باشدند. اخیراً ناحیه val 16SrRNA/tRNA به عنوان یک نشانگر میتوکندریایی مطرح شده است (Calo-Mata *et al.*, 2009). در گذشته برای تعیین رابطه فیلوژنی میان گونه‌های مختلف از جمله میگوها از نشانگرهای میتوکندریایی COI و 16SrRNA استفاده می‌شد.

ژنوم 16SrRNA در مقایسه با COI دارای سرعت پائین تر تکاملی است. این بیان کننده این است که این نشانگر در مقایسه با COI بیشتر حفاظت شده است (Meyer, 1994). استفاده از ناحیه val 16SrRNA/tRNA برای تعیین رابطه فیلوژنتیک بین گونه‌های میگوها خانواده پنائیده، سطح تنوع بیشتری را نسبت به 16S rRNA و COI نشان می‌دهند (Calo-mata *et al.*, 2009). این ناحیه در میگوها خانواده پنائیده حدود 530 bp طول دارد و در مقایسه یا دو نشانگر قبلی سرعت تکاملی بالاتری را نشان می‌دهد و به این مفهوم که کم تر حفاظت شده است و چند شکلی بیشتری دارد. به عبارتی این نشانگر جایگاه‌های متغیر بیشتری نسبت به COI و 16S rRNA 16SrRNA val درصد برای COI و ۴۲/۷ درصد برای COII و ۳۳/۴ درصد برای COIII (Calo-mata *et al.*, 2009). وجود جایگاه‌های

متغیر بیشتر در ناحیه val 16SrRNA/tRNA در مقایسه با COI و 16SrRNA باعث شده است که استفاده از این نشانگر جهت طبقه بندی و دسته بندی کردن گونه‌های نزدیک بهتر عمل کند (Pascoal *et al.*, 2008 a,b). در حقیقت 16SrRNA تناسب بیشتری برای مطالعه روابط فیلوژنتیک بین گونه‌ها دارد ولی می‌توان از COI نیز جهت مطالعه روابط فیلوژنتیک بین گونه‌ای و درون گونه‌ای استفاده نمود (Calo-Mata *et al.*, 2009).

لذا با توجه به مطالب فوق از مهمترین روش‌های بررسی تفاوت‌های ژنتیکی در جمعیت‌های مختلف بررسی ژنوم مناطق مختلف DNA میتوکندریال می‌باشد. DNA میتوکندریال (mtDNA) دارای سطح بالایی از پلی مورفیسم بوده و ارزیابی آن ۱۰ برابر سریعتر از ژنوم های هسته ای انجام می‌شود. عنوان شده ژنوم این بخش بصورت مادری و غیرجنسی به ارث می‌رسد (Awadalla *et al.*, 1999). از ویژگی‌های DNA میتوکندریال این است که در مطالعات ژنتیکی و فیلوژنتیک در آبزی پروری و جمعیت‌های وحشی میگو مورد استفاده قرار می‌گیرند. (Allegrucci *et al.*, 1998; Baldwin *et al.*, 1998; Klinbunga *et al.*, 1999) ژنوم منطقه 16S rRNA بخشی از ژن محافظت شده DNA میتوکندریال است که بطور وسیعی در مطالعات فیلوژنتیکی مورد استفاده قرار می‌گیرد، در حالیکه ژن سیتوکروم اکسیداز (COI) بنظر می‌رسد که نقاط محافظت شده کمتری نسبت به 16S rRNA دارد و به کرات در مطالعات تکاملی مورد استفاده قرار می‌گیرد (Beard *et al.*, 1993). از این رو منطقه 16S rRNA میتوکندریال به شدت محافظت شده و به میزان کمی تکامل یافته است (Meyer, 1994). لذا در تبعیض میان گونه‌ها نسبت به درون گونه به میزان دقیق تری عمل می‌کند.

آنالیزهای فیلوژنتیک، تنوع مولکولی و رابطه تکاملی بین توالی‌ها را فراهم می‌کنند. با این آنالیزها، سرعت‌های تکاملی ژن‌ها و سایر اطلاعات تکاملی تخمین زده می‌شود (Tamura *et al.*, 2011). در آنالیزهای فیلوژنتیکی تخمین فاصله ژنتیکی میان توالی‌ها و همچنین ساخت درخت فیلوژنتیک بر مبنای نتایج همرو다پی‌های انجام شده صورت می‌گیرد. ماتریکس فاصله ژنتیکی نسل‌های مختلف میگو بر اساس ترادف نوکلئوتیدی ناحیه 16S rRNA با استفاده از مدل Kimura 2-Parameter با پشتونه تکرار ۱۰۰۰ (Bootstrap 1000)، همراه با در نظر گرفتن جانشینی‌های ترانزیشن و ترانسسورژن، سرعت یکنواخت و الگوی هموژن بین افراد و حذف کامل Gap‌ها و داده‌های غلط با استفاده از نرم افزار MEGA 7 محاسبه می‌شود (Tamura *et al.*, 2011).

در این رابطه عنوان شده بیشترین جهش‌های نقطه‌ای شامل جهش‌های جانشینی است که در آن یک نوکلئوتید جایگزین نوکلئوتید دیگر می‌شود. این جهش‌ها به دو دسته ترانسسورژن و ترازیشن تقسیم می‌شوند. ترانسسورژن زمانی اتفاق می‌افتد که یک نوکلئوتید پورین به پریمیدین و یا بالعکس تبدیل شود و ترازیشن زمانی حادث می‌شود که یک نوکلئوتید پورین به نوکلئوتید پریمیدین یا یک نوکلئوتید پریمیدین به نوکلئوتید پریمیدین تبدیل شود. شایان ذکر است که نسبت ترازیشن به ترانسسورژن مولکولی بسیار مهم است.

در این مطالعه در ابتدا با نمونه گیری از بافت عضلانی پای شنای نسل‌های مختلف میگویی سفید غربی عاری از بیماری خاص در کشور با استفاده از با استفاده از آغازگرهای اختصاصی ژنوم 16S rRNA، mtDNA میتوکندریال

علاوه بر تعیین شاخص‌های ژنتیکی شامل میزان فاصله ژنتیکی، میزان تنوع هابلوتیپی، تنوع نوکلئوتیدی و پلی‌مورفیسم بودن مقادیر تفاوت‌های ژنتیکی میان میگوهای نسل‌های مختلف میگوی عاری از بیماری خاص بمنظور به‌گزینی میگوهای اصلاح تعیین گردید.

۲- مواد و روش کار

۲-۱- تعیین تاریخچه واردات مولدین میگوی سفیدغربی به کشور

از آنجا که میگوهای سفید غربی به عنوان یک گونه غیربومی در کشور محسوب می‌گردد. لذا منشاء واردات این گونه در جهان از چهار مرکز انتیو اوشنیک^۱، مرکز آبزی پروری های هلت^۲، سواحل دریایی کاناپای^۳ و مزارع پرورشی مولوکائی^۴ می‌باشد. در این مطالعه تعیین تاریخچه واردات مولدین میگوی سفید غربی به مراکز تکثیر و پرورش میگوی کشور براساس اطلاعات اخذ شده از ادارات کل شیلات استان‌های بوشهر، خوزستان و هرمزگان صورت پذیرفت (شکل ۲).



شکل ۲: استان‌های فعال در زمینه پرورش میگو در سطح کشور

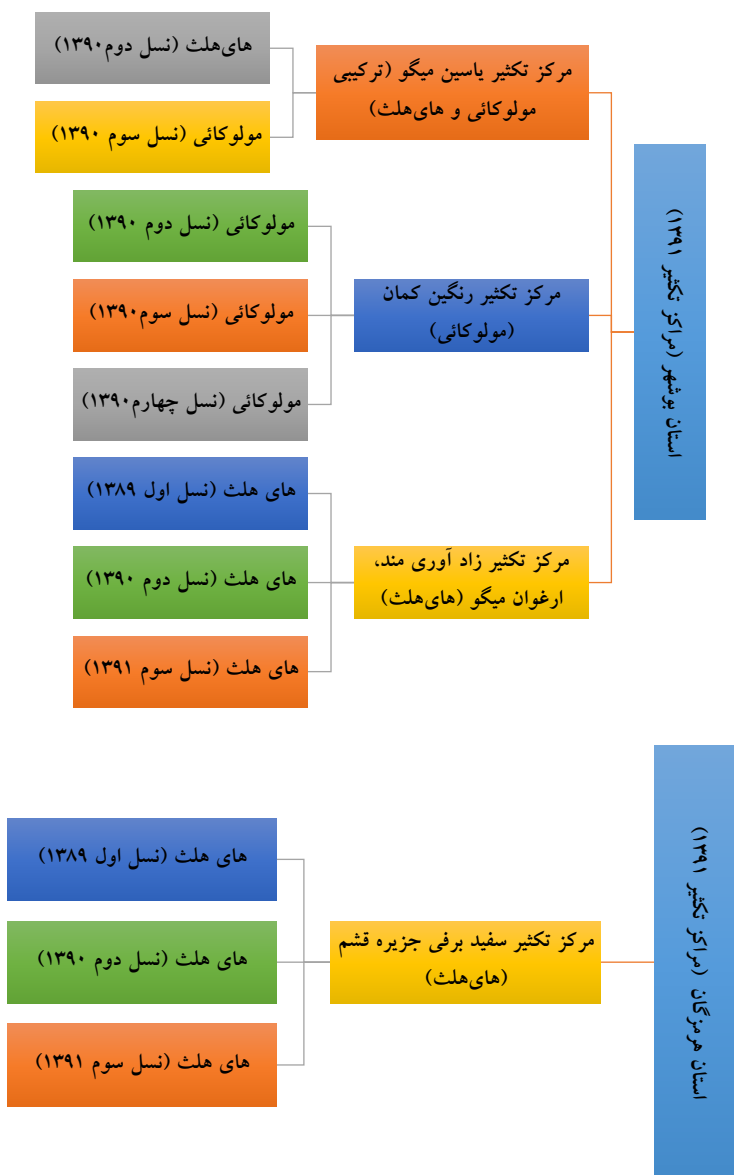
اطلاعات حاکی از آن بود که در طی سال‌های ۸۶ تا ۸۹ بخش خصوصی اقدام به واردات مولد میگوی سفید غربی به کشور از مناطق مختلفی همچون دانشگاه هلونولو واقع در منطقه هاوائی، سواحل کاناپای، سواحل مولوکای و میگوهای های هلت مرکز انتیتو Oceanic نموده است و در طول سال‌های ۹۰-۹۱ مراکز تکثیر فعال در سطح کشور با جمع آوری پیش مولد از مراکز پرورش بویژه در استان‌های بوشهر و هرمزگان مولد مورد نیاز خود را تأمین نموده بودند. از این رو با توجه به اطلاعات بدست آمده از مولدین موجود در مراکز تکثیر نمونه‌گیری از بافت مولدین بمنظور تعیین و بررسی شاخص‌های ژنتیکی مولدین نسل صفر میگوی عاری از بیماری خاص صورت پذیرفت (نمودار ۱).

1 -The Oceanic Institute (OI)

2 -High Health Aquaculture Inc.

3 -Kona Bay Marine Resources (now IAI Co.)

4 -Molokai Sea Farms



نمودار ۱: نمودار تاریخچه و منشاء ورود مولدین میگوی سفید غربی به کشور

۲-۲- تعیین شاخص‌های ژنتیکی پیش مولدین نسل صفر (F_0)

بمنظور تعیین شاخص‌های ژنتیکی، به گزینی و دستیابی به جمعیت‌های مختلف نسل صفر میگوی عاری از بیماری خاص، براساس اطلاعات حاصل از منشاء مولدین هر یک از مراکز تکثیر و همچنین اطلاعات بدست آمده از مطالعات مولکولی ریزماهواره‌ای صورت گرفته در این طرح، علاوه بر ردیابی پست‌لاروهای تولید شده از مراکز تکثیر در مراکز پرورش میگوی استان‌های مختلف انتخاب مزارع پرورشی بمنظور انجام مطالعات مولکولی و به گزینی پیش مولدین نسل صفر بر اساس نوع مدیریت و همچنین میزان رشد و بازماندگی میگوهای پرورش داده شده صورت پذیرفت (جدول ۱).

جدول ۱: انتخاب مراکز پرورش میگوی سفید غربی با توجه به منشاء مولدین

ردیف	سایت پرورشی	مزرعه	منشاء مولدین
۱	حله	تعاونی ۲۷۲	High Health
۲	بندر ریگ	تعاونی ۶۷۸	Molokai
۳	دلوار	یاسین میگو	Mix

۱-۲-۲-۱- نمونه گیری از پیش مولدین نسل صفر (F_0) و میگوهای نسل‌های مختلف

در این مطالعه از اواخر خرداد تا اوایل شهریور ماه ۱۳۹۱ با انتخاب ۸ مرکز پرورش واقع در استان بوشهر نمونه گیری از بافت عضلانی ۲۴۰ قطعه پیش مولد میگوی سفید غربی انجام شد. بمنظور حفظ نمونه‌های بافتی، نمونه‌ها تا زمان انجام آزمایشات مولکولی در الکل ۹۶ درجه در دمای ۴ درجه سانتیگراد نگهداری شدند (شکل ۳). (Tamayo, 2006).



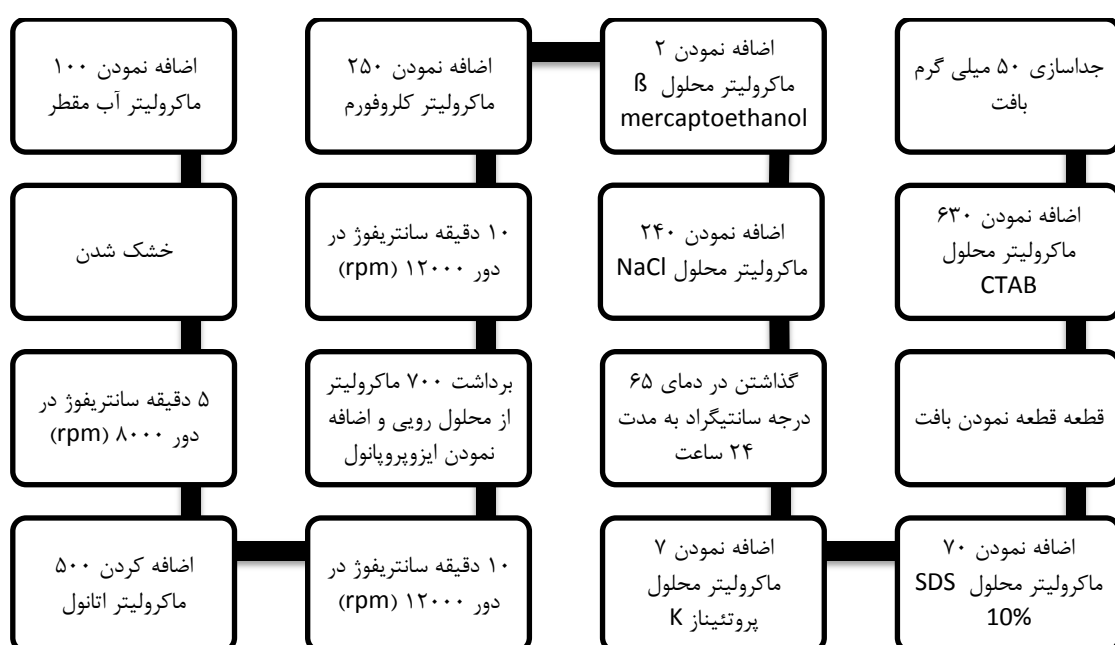
شکل ۳: نمونه گیری از بافت عضله میگوهای پرورشی مراکز و نگهداری در الکل ۹۶ درجه

۱-۲-۲-۲- استخراج ماده ژنتیکی DNA

در این مطالعه بمنظور استخراج ماده ژنتیکی DNA از روش CTAB استفاده شد. روش کار بدین صورت بود که بعد از جدا سازی ۵۰ میلی گرم از بافت عضله میگو و قرار دادن آن در میکروتیوب های ۱/۵ میلی لیتر بمنظور هضم بافت از ۶۳۰ میکرولیتر محلول CTAB، ۷۰ میکرولیتر محلول SDS ۱۰٪ و ۷ میکرولیتر آنزیم پروتئیناز K استفاده شد. در ادامه پس از گذشت یک شبانه روز به هر کدام از نمونه‌ها ۲۴۰ میکرولیتر محلول NaCl همراه با ۲ میکرولیتر بتامر کاپتواتانول و ۲۵۰ میکرولیتر کلروفرم افزوده شد که بعد از ته نشین نمودن DNA نمونه‌ها و شستشوی آن‌ها توسط اتانول به هر کدام از نمونه‌ها ۱۰۰ میکرولیتر آب مقطر تزریقی دوبار تقطیر اضافه و در دمای ۴ درجه سانتیگراد نگهداری شد (Valles-Jimenez et al., 2004) (شکل ۴ و نمودار ۲).



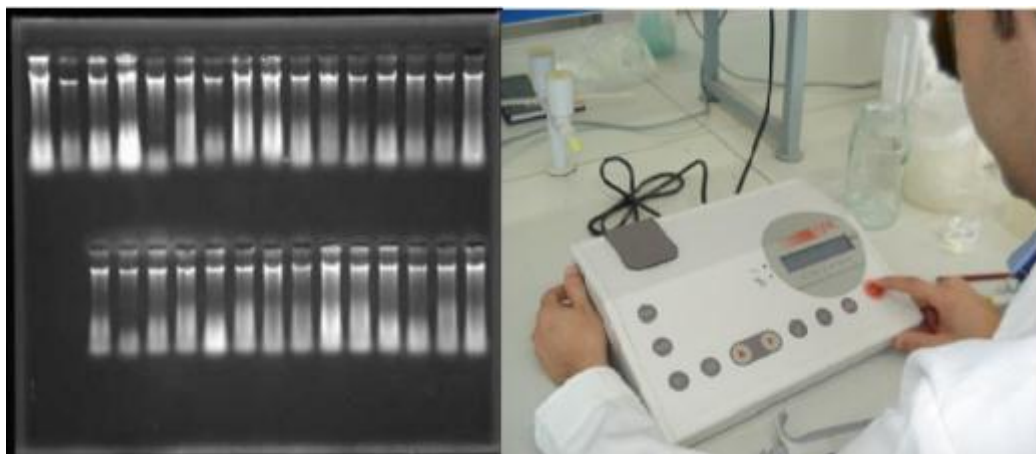
شکل ۴: خرد کردن و هموژنیزه نمودن بافت عضلانی میگوها



نمودار ۲: مراحل استخراج ماده ژنتیکی DNA از طریق روش CTAB

۲-۲-۳- تعیین کیفیت و کمیت ماده ژنتیکی استخراج شده

بمنظور تعیین کیفیت DNA های استخراج شده بعد از انتقال ماده ژنتیکی DNA به ژل آگاروز ۱ درصد با استفاده از دستگاه الکتروفورز افقی کلور براسas وجود یا عدم وجود باند و شارپ بودن آن کیفیت DNA ها تعیین گردید. همچنین بمنظور تعیین کمیت DNA از دستگاه اسپکتوفوتومتر مدل ۱۱۰۱ WFA در طول موج های ۲۶۰ و ۲۸۰ نانومتر و معادله $\frac{۲۶۰}{۲۸۰}$ میزان کمیت ماده ژنتیکی تعیین شد (Soto-Hernandez & Grijalva-Chon, 2005) (شکل ۵).



شکل ۵: تعیین کمیت و کیفیت DNA نمونه‌های استخراج شده

۳-۲-۳- نسل‌های مختلف میگوی سفید غربی عاری از بیماری خاص

در این مطالعه با توجه به اطلاعات حاصل مطالعات مولکولی ریزماهواره‌ای به گزینی مولدین نسل صفر میگوی سفید غربی در نسل‌های مختلف براساس منشاء ورود و داده‌های حاصل از شاخص‌های ژنتیکی از قبیل فراوانی آلل، هتروزیگوستی مشاهده شده، هتروزیگوستی قابل انتظار، میزان ضربی هم خونی، جریان ژنی، فاصله ژنتیکی، شباهت ژنتیکی و تعادل هاردی-واینبرگ صورت گرفت. لذا با توجه به گزینی صورت گرفته و نتایج حاصل از آزمایشات بیماری شناسی در نسل صفر دو جمعیت مولوکائی و های‌هلث از سه جمعیت مولوکائی، های‌هلث و ترکیبی (مخلوط مولوکائی و های‌هلث) میگوی سفید غربی جمع آوری شده از مراکز پرورش میگوی کشور به عنوان مولدین نسل صفر میگوهای عاری از بیماری خاص در نظر گرفته شدند. این در حالی بود که در نسل اول از تلاقی درون گروهی و بین گروهی صورت گرفته میان مولدین نر و ماده دو جمعیت نسل صفر در نهایت سه ذخیره $\text{♀M} \times \text{♂H}$ و $\text{♀H} \times \text{♂M}$ تولید شد. در ادامه با توجه به شاخص‌های ژنتیکی بدست آمده از پروژه ارزیابی و تعیین شاخص‌های مؤثر در انتخاب مولدنهای اصلاح میگوهای ذخیره $\text{♀M} \times \text{♂H}$ به منظور تولید میگوهای نسل دوم انتخاب شدند(شکل ۶).



شکل ۶: به‌گزینی پیش مولدین میگوی نسل صفر

۲-۴-۱- تعیین تفاوت‌های ژنتیکی نسل‌های مختلف میگوی عاری از بیماری خاص

۲-۴-۱-۱- تکثیر ناحیه 16S rRNA، DNA میتوکندریالی

در این مطالعه واکنش PCR استاندارد جهت تکثیر قطعات هدف با وزن ۵۲۹ مورد استفاده قرار گرفت. بنظرور تکثیر منطقه 16S rRNA میتوکندریال از یک پرایمر اختصاصی استفاده شد (Simon *et al.*, 1991) (جدول ۲). لذا در ابتدا محصول PCR در حجم ۲۵ میکرولیتر شامل ۱۲/۵ میکرولیتر بافر Master Mixes (شرکت سیناکلون) همراه با ۱ میکرولیتر (پرایمر پیشرو)، ۱ میکرولیتر (پرایمر معکوس)، ۸/۵ میکرولیتر آب مقطر دوبار تقطیر و ۲ میکرولیتر DNA نمونه تهیه شد که پس از مشاهده باند در محدوده وزن ۵۲۹ bp حجم نهایی به ۵۰ میکرولیتر افزایش پیدا کرد.

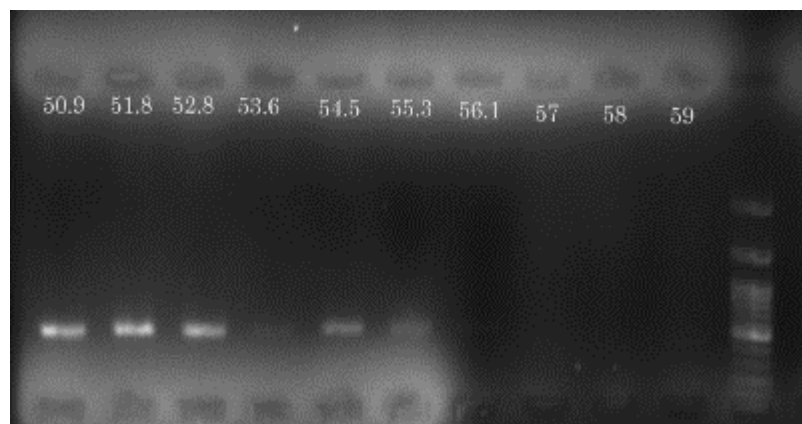
جدول ۲: توالی پیشرو و معکوس ژنوم 16S rRNA میتوکندریال میگوی سفید غربی

نام آغازگر	توالی نوکلئوتیدی آغازگر
16S-Forward	5'-GCCTGTTAACAAAAACAT-3'
16S-Reverse	5'-CCGGTCTGAACTCAGATCATGT-3'

۲-۵-۱- بهینه سازی آغازگر واکنش PCR

۲-۵-۱-۱- بهینه سازی آغازگر منطقه 16S rRNA میتوکندریال

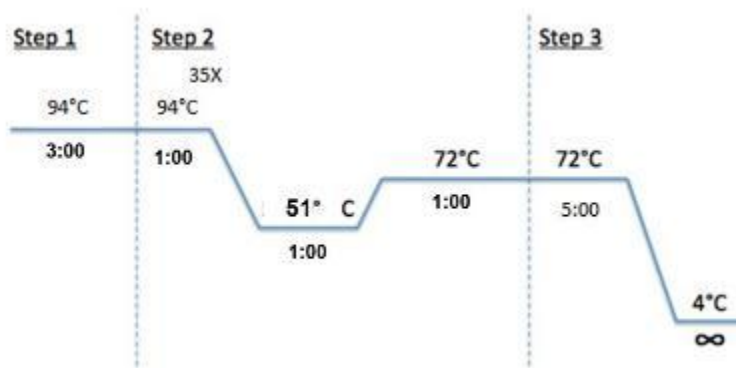
بنظور تکثیر قطعه 16S rRNA در ابتدا واکنش‌های PCR بهینه‌سازی شدند. بدین صورت که با تغییر غلظت DNA الگو و گرادیت دمایی (۵۸-۶۰ درجه سانتی گراد) بهینه سازی واکنش PCR انجام شد. از این رو با توجه شارپ بودن جفت بازهای تشکیل شده در طول ۵۲۹ bp درجه حرارت دمایی ۵۱ درجه سانتی گراد مناسب ترین درجه حرارت برای اتصال پرایمر به قطعه هدف در نظر گرفته شد (شکل ۷).



شکل ۷: گرادینت دمایی آغازگر منطقه 16S rRNA میتوکندریال

۲-۶- تکثیر منطقه 16S rRNA میتوکندریال

تکثیر مناطق فوق با استفاده از دستگاه ترموسایکلر مدل Corbett صورت گرفت. شایان ذکر است که تکثیر منطقه 16S rRNA میتوکندریال DNA توسط دستگاه ترموسایکلر از سه مرحله تشکیل شده بود، مرحله اول شامل واسرت شدن اولیه^۱ در درجه حرارت ۹۴ درجه سانتیگراد به مدت ۳ دقیقه برای یک چرخه، مرحله دوم شامل واسرت شدن^۲ در ۹۴ درجه سانتیگراد، اتصال به قطعه هدف^۳ در درجه حرارت ۵۱ درجه سانتیگراد و بسط شدن^۴ در درجه حرارت ۷۲ درجه سانتیگراد هر کدام به مدت ۶۰ ثانیه برای ۳۵ چرخه تنظیم گردید. در انتهای بسط نهایی^۵ در درجه حرارت ۷۲ درجه سانتیگراد به مدت ۵ دقیقه در یک چرخه صورت پذیرفت (Francisco *et al.*, 2005).

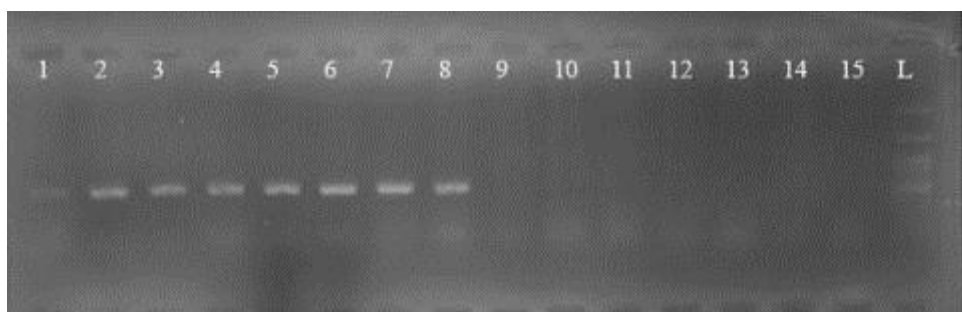


شکل ۸: الگوی دمایی تکثیر ژنوم منطقه 16S rRNA میتوکندریال

- 1-Pre denature
- 2-Denature
- 3-Annealing
- 4-Extraction
- 5-Final Extraction

۲-۷-۱- ارزیابی کیفیت محصولات PCR حاصل از آغازگر 16S rRNA میتوکندریال

پس از دستیابی به محصول PCR حاصل از تکثیر DNA میتوکندریال میگوهای نسل‌های مختلف، ۵ میکرولیتر محصول PCR به درون چاهک‌های ایجاد شده بر روی ژل آگاروز ۱ درصد مخلوط شده با ۱/۵ میکرولیتر رنگ Safe stain همراه با نشانگر استاندارد^۱ ۳۰۰۰-۱۰۰ bp تزریق شد، که بعد از ران نمودن دستگاه الکتروفورز افقی مدل کلور به مدت ۴۰-۳۵ دقیقه، با توجه به طول نشانگر استاندارد بر اساس وجود یا عدم وجود باندهای شارپ تشکیل شده در طول ۵۲۹ bp انتخاب نمونه‌ها صورت گرفت و تصویر ژل آگاروز توسط دستگاه مستند سازی ژل با کمک برنامه پرتاپل دستگاه ثبت و ذخیره سازی گردید (Simon *et al.*, 1991; Francisco *et al.*, 2005) (شکل ۹).



شکل ۹: ارزیابی کیفیت محصولات PCR حاصل از آغازگر 16S rRNA میتوکندریال

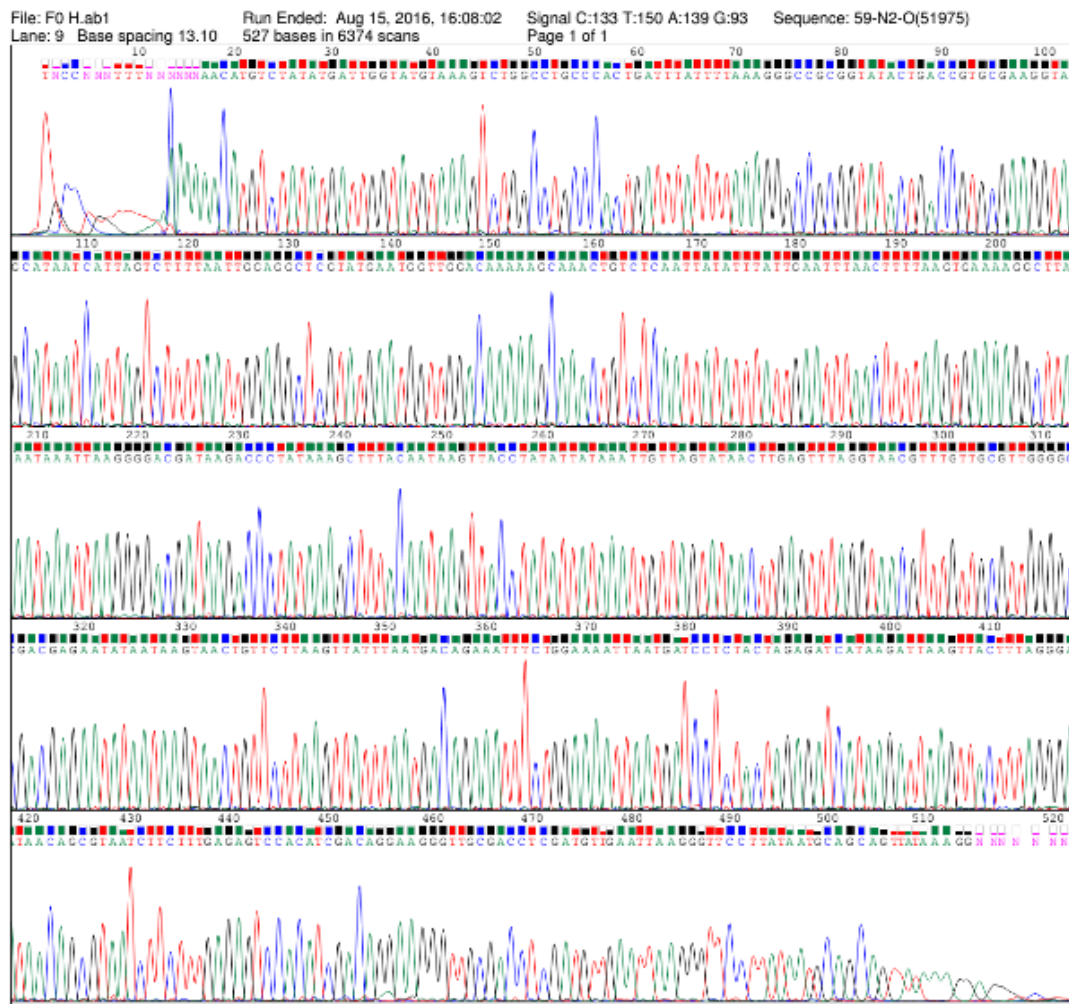
۲-۷-۲- توالی یابی محصولات PCR

در این مطالعه توالی یابی قطعه 16S rRNA میتوکندریال بر اساس روش Sanger و همکاران (۱۹۷۷) توسط توالی یاب اتوماتیک ABI 377 (Applied Biosystems Inc.) توسط شرکت Seq/Teq/California/USA انجام شد. شایان ذکر است که تعیین توالی نمونه‌های مربوط به قطعه 16SrRNA DNA میتوکندریال بصورت اختصاصی از یک طرف بر اساس استفاده از آغازگر 16S-Reverse انجام شد.

۲-۷-۳- بازسازی توالی‌های هر نمونه

تمام نمونه‌ها با استفاده از آغازگر اختصاصی از یک طرف تعیین توالی شدند. بنابراین از هر نمونه، یک توالی موجود بود که از سمت^۱ ژن (توالی بدست آمده با استفاده از آغازگر معکوس) انجام شد. لذا می‌بایست طول کامل محصول PCR توسط تطبیق این دو توالی تعیین شود. از این رو در ابتدا صحت توالی‌های بدست آمده با

استفاده از نرم افزار Chromas Pro بر اساس کروماتوگرام هر توالی مورد بررسی قرار گرفت. در ادامه با استفاده از نرم افزارهای BioEdit طول کامل هر نمونه بازسازی و ذخیره گردید (شکل ۱۰).



شکل ۱۰: توالی نمونه‌های نسل‌های مختلف میگو

۲-۸- آنالیز فیلوژنتیک توالی‌ها با استفاده از نرم افزارها

مقایسه اولیه توالی‌های حاصل از این مطالعه با استفاده از نرم افزار آنلاین ClustalW2 انجام شد (Larkin *et al.*, 2007). در ادامه با استفاده از نرم افزار Nuclotid Blast مقایسه توالی‌های بدست آمده با توالی‌های مشابه در سایت NCBI صورت پذیرفت (Altschul *et al.*, 1990)(شکل ۱۱).

Litopenaeus vannamei clone 100 16S ribosomal RNA gene, partial sequence; mitochondrial gene for mitochondrial product

Sequence ID: AY344191_1 Length: 529 Number of Matches: 1

Range 1: 1 to 481 GenBank Graphics					Next Match	Previous Match
Score 889 bits(481)	Expect 0.0	Identities 481/481(100%)	Gaps 0/481(0%)	Strand Plus/Plus		
Query 34	GGTATGTAAGTCTGGCTGCCACTGATTTATTTAAAGGCCGGGTATACTGACCGT				93	
Sbjct 1	GGTATGTAAGTCTGGCTGCCACTGATTTATTTAAAGGCCGGGTATACTGACCGT				68	
Query 94	GCGAAGGTAGCATATTCAATTAGTCCTTAAATTGGAGGCTCGTATGAATGGTGGACAAA				153	
Sbjct 61	GCGAAGGTAGCATATTCAATTAGTCCTTAAATTGGAGGCTCGTATGAATGGTGGACAAA				128	
Query 154	AGCAAACGTCTCAATTATTTATTGAATTAACTTTAAAGTGAACAGCTAAATAAA				213	
Sbjct 121	AGCAAACGTCTCAATTATTTATTGAATTAACTTTAAAGTGAACAGCTAAATAAA				188	
Query 214	TTAAGGGGACGATAAGACCTATAAGCTTTACAATAAGTACCTATAATTATAATTGTT				273	
Sbjct 181	TTAAGGGGACGATAAGACCTATAAGCTTTACAATAAGTACCTATAATTATAATTGTT				248	
Query 274	AGTATAACCTGAGTTAGGTAAACGTTGGCGTTGGGCACGAGAATAATAAGTAA				333	
Sbjct 241	AGTATAACCTGAGTTAGGTAAACGTTGGCGTTGGGCACGAGAATAATAAGTAA				308	
Query 334	CTGTTCTTAAGTTATTAATGACAGAAATTCTGGAAAATTAAATGATCCTCTACTAGAGA				393	
Sbjct 301	CTGTTCTTAAGTTATTAATGACAGAAATTCTGGAAAATTAAATGATCCTCTACTAGAGA				368	
Query 394	TCATAAGATTAAGTACTTAAAGGATAAACAGCGTAATCTCTTGAGAGTCCACATCGAC				453	
Sbjct 361	TCATAAGATTAAGTACTTAAAGGATAAACAGCGTAATCTCTTGAGAGTCCACATCGAC				428	
Query 454	AGGAAGGGTTGCACCTCGATGTTGAATTAAAGGTTCCCTATAATGCAGCAGTTATAAG				513	
Sbjct 421	AGGAAGGGTTGCACCTCGATGTTGAATTAAAGGTTCCCTATAATGCAGCAGTTATAAG				488	
Query 514	G 514					
Sbjct 481	G 481					

شکل ۱۱: مقایسه توالی‌های بدست آمده با توالی‌های منطقه 16S rRNA در سایت جهانی ژن

همدیفی چندگانه کلاسیفیک (ClustalW Multiple Alignment) با استفاده از نرم افزار BioEdit با هدف محاسبه ترکیب بازی توالی‌ها و نسبت جانشینی ترانزیشن به ترانسسورژن انجام شد (Thompson *et al.*, 1994). در ادامه بمنظور دستیابی به ماتریکس فاصله ژنتیکی براساس روش Kimura, 1980 (Kimura-2-parameter) و شرایطی از قبیل حذف کامل Gap یا حذف بازه‌های جفت جفت (Pairwise) با در نظر گرفتن جهش‌های ترانزیشن و ترانسسورژن، سرعت یکنواخت و الگوی هموژن بین افراد با استفاده از نرم افزار MEGA 7.0 محاسبه شد (Tamura *et al.*, 2011).

روش کار بدین صورت بود که بعد از انجام Blast، توالی‌های ناحیه 16SrRNA DNA میتوکندریال میگوهای نسل‌های مختلف عاری از بیماری خاص با توالی‌های مشابه استخراج شده از بانک جهانی ژن (NCBI) و همدیفی آنها با توالی‌های حاصل از این مطالعه با استفاده از نرم افزار MEGA 7.0 فاصله ژنتیکی براساس روش Kimura-2-parameter محاسبه شد.

همچنین ترسیم درخت فیلوژنیک بر اساس آنالیزهای Neighbor-Joining و Maximum Likelihood ترسیم شد.

ساخت درخت فیلوزنیک و تاریخچه تکاملی بر اساس روش Maximum Likelihood مدل Kimura 2-Parameter (Tammura *et al.*, 2011) صورت گرفت. در ساخت این درخت از پشتونه تکرار ۱۰۰۰ استفاده شد (Felsenstein, 1985). درخت اولیه برای جستجوی هیروستیک (Heuristic) به وسیله به کارگیری الگوریتم‌های Nearest-Neighbor-Interchange (INN) و BioNJ بصورت اتوماتیک بدست آمد. همچنین پارامتر Neighbor-Joining برای روش هیروستیک Maximum Likelihood انتخاب شد. سایر پارامترها برای رسم درخت مذکور شامل سرعت یکنواختی بین نمونه‌ها و حذف کامل Gaps بود (Saitou & Nei, 1987). تاریخچه تکاملی و ساخت درخت فیلوزنیک با روش فیلوزنیک بر اساس مدل Neighbor-Joining استنتاج شد (Rozas *et al.*, 2003).

۲-۹- تجزیه و تحلیل داده‌های بدست آمده

در پایان مطالعه با استفاده از آزمون کلموگراف-اسمیرنوف نرمال نمودن پراکنش داده‌های حاصل از تعداد مناطق محافظت شده، شاخص‌های تنوع مولکولی از قبیل تعداد هاپلوتیپ‌ها، مکان‌های پلی مورف، تنوع هاپلوتیپی و نوکلئوتیپی به همراه واریانس بر اساس مدل Nei (Nei, 1978) با استفاده از نرم افزارهای BioEdit و MEGA 7.0 و DnaSP (Rozas *et al.*, 2003) مورد تجزیه و تحلیل قرار گرفت.

۳- نتایج

۳-۱- نتایج تعیین توالی منطقه 16S rRNA، میتوکندریال

نتایج حاصل از تعیین توالی منطقه 16S rRNA میتوکندریال توسط نرم افزار ChromasPro و BioEdit حاکی از آن بود که ژن تکثیر شده در نمونه‌ها ۴۹۸-۴۸۸ جفت باز طول داشت. همچنین در شکل ۱۲ توالی منطقه 16S rRNA میتوکندریال میگوی سفید غربی استخراج شده از بانک جهانی ژن (NCBI) می‌باشد که با شماره‌های ژنی نمایش داده شده است.

AY264914.1| *Litopenaeus vannamei*

```
GATTGGTATGAAAGTCTGGCCTGCCACTGATTATTAAAGGGCCGCGGTATACTGACCGTGC  
GAAGGTAGCATAATCATTAGTCTTTAATTGGAGGCTCGTATGAATGGTTGGACAAAAGCAA  
ACTGTCTCAATTATTTATTGAATTAACTTTAAGTGAAAAGGCTAAATAAGGGGACGATA  
AGACCCTATAAAGCTTACAATAAGTACCTATATTAAATTGTAGTATAACTTGAGTTAGGTA  
ACGTTGTGCGTTGGGCGACGAGAATAAGTAACGTGTTCTAAGTTATTAAATGACAGAA  
ATTCTGGAAAATTAAATGATCCTCTAGAGATCATAAGATTAAGTTACTTAGGGATAACAGCG  
TAATCTTCTTGAGAGTCCACATCGACAGGAAGGGTGCACCTCGATGTTGAATTAGGGTC  
ATAATGCAGCAGTTATAAAGGAGGGTCTGTTGACCTTA
```

AF279818.1| *Litopenaeus vannamei*

```
GGCCTGCCACTGATTATTAAAGGGCCGCGGTATACTGACCGTGCAGAGTAGCATAATCATT  
AGTCTTTAATTGGAGGCTCGTATGAATGGTTGGACAAAAGCAAACGTCTCAATTATTTATTG  
AATTAACTTTAAGTGAAAAGGCTAAATAAGGGGACGATAAGACCCTATAAAGCTTAC  
AATAAGTTACCTATATTAAATTGTAGTATAACTTGAGTTAGGTAACGTTGCGTTGGGC  
GACGAGAATAATAAGTAACGTGTTCTAAGTTATTAAATGACAGAAATTCTGGAAAATTAA  
TCCTCTACTAGAGATCATAAGATTAAGTTACTTAGGGATAACAGCGTAATCTTCTTGAGAGTCCA  
CATCGACAGGAAGGGTGCACCTCGATGTTGAATTAGGGTCCTATAATGCAGCAGTTAAA  
GG
```

AY344192.1| *Litopenaeus vannamei*

```
GGTATGAAAGTCTGGCCTGCCACTGATTATTAAAGGGCCGCGGTATACTGACCGTGCAG  
GTAGCATAATCATTAGTCTTTAATTGGAGGCTCGTATGAATGGTTGGACAAAAGCAA  
ACTGTCTCAATTATTTATTGAATTAACTTTAAGTGAAAAGGCTAAATAAGGGGACGATA  
AGACCCCTATAAAGCTTACAATAAGTACCTATATTAAATTGTAGTATAACTTGAGTTAGGTA  
ACGTTGCGTTGGGCGACGAGAATAAGTAACGTGTTCTAAGTTATTAAATGACAGAAATT  
CTGGAAAATTAAATGATCCTCTAGAGATCATAAGATTAAGTTACTTAGGGATAACAGCG  
TAATCTCTTGAGAGTCCACATCGACAGGAAGGGTGCACCTCGATGTTGAATTAGGGTC  
CTTATAATGCAGCAGTTATAAAGGAGGGTCTGTTGACCTTAATCCTTACATGATCTGAG  
GGTTCAGACCGG
```

AY344191.1| *Litopenaeus vannamei*

```
GGTATGAAAGTCTGGCCTGCCACTGATTATTAAAGGGCCGCGGTATACTGACCGTGCAG  
GTAGCATAATCATTAGTCTTTAATTGGAGGCTCGTATGAATGGTTGGACAAAAGCAA  
ACTGTCTCAATTATTTATTGAATTAACTTTAAGTGAAAAGGCTAAATAAGGGGACGATA  
AGACCCCTATAAAGCTTACAATAAGTACCTATATTAAATTGTAGTATAACTTGAGTTAGGTA  
ACGTTGCGTTGGGCGACGAGAATAAGTAACGTGTTCTAAGTTATTAAATGACAGAAATT  
CTGGAAAATTAAATGATCCTCTAGAGATCATAAGATTAAGTTACTTAGGGATAACAGCG  
TAATCTCTTGAGAGTCCACATCGACAGGAAGGGTGCACCTCGATGTTGAATTAGGGTC  
CTTATAATGCAGCAGTTATAAAGGAGGGTCTGTTGACCTTAATCCTTACATGATCTGAG  
GGTTCAGACCGG
```

AY344190.1| *Litopenaeus vannamei*

```
GGTATGAAAGTCTGGCCTGCCACTGATTATTAAAGGGCCGCGGTATACTGACCGTGCAG  
TAGCATAATCATTAGTCTTTAATTGGAGGCTCGTATGAATGGTTGGACAAAAGCAA  
ACTGTCTCAATTATTTATTGAATTAACTTTAAGTGAAAAGGCTAAATAAGGGGACGATA  
AGACCCCTATAAAGCTTACAATAAGTACCTATATTAAATTGTAGTATAACTTGAGTTAGGTA  
ACGTTGCGTTGGGCGACGAGAATAAGTAACGTGTTCTAAGTTATTAAATGACAGAAATT  
CTGGAAAATTAAATGATCCTCTAGAGATCATAAGATTAAGTTACTTAGGGATAACAGCG  
TAATCTCTTGAGAGTCCACATCGACAGGAAGGGTGCACCTCGATGTTGAATTAGGGTC  
CTTATAATGCAGCAGTTATAAAGGAGGGTCTGTTGACCTTAATCCTTACATGATCTGAG  
GGTTCAGACCGG
```

CTTGAGAGTCCACATCGACAGGAAGGGTTGCGACCTCGATGTTGAATTAAAGGGTCCTATAATG
CAGCAGTTATAAAGGAGGGTCTGTCGACCTTAAATCCTACATGATCTGAGTTCAGACCGG

AY344188.1| *Litopenaeus vannamei*

GGTATGTAAAGGTCTGGCCTGCCACTGATTATTAAAGGGCCGCGTATACTGACCGTGCAGAAG
GGTAGCATAATCATTAGTCTTTAATTGGAGGCTCGTATGAATGGTGGACAAAAAGCAAACGTCT
TCAATTATATTATTGAATTAACTTTAAGTAAAAGGCTTAATAAATTAAAGGGGACGATAAGA
CCCTATAAAGCTTACAATAAGTTACCTATATTAAATTGTTAGTATAACTTGAGTTAGGTAAACG
TTGTTGCGTTGGGCGACGAGAATATAAGTAACGTCTTAAGTTATTAAATGACAGAAATT
CTGGAAAATTAAATGATCCTCTAGAGATCATAAGATTAAAGTTACTTAGGGATAACAGCGTAATC
TTCTTGAGAGTCCACATCGACAGGAAGGGTTGCGACTCGATGTTGAATTAAAGGGTCCTATAAT
GCAGCAGTTATAAAGGAGGGTCTGTCGACCTTAAATCCTACATGATCTGAGTTCAGACCGG

AY344187.1| *Litopenaeus vannamei*

GGTATGTAAAGTCTGGCCTGCCACTGATTATTAAAGGGCCGCGTATACTGACCGTGCAGAAG
GTAGCATAATCATTAGTCTTTAATTGGAGGCTCGTATGAATGGTGGACAAAAAGCAAACGTCT
CAATTATATTATTGAATTAACTTTAAGTAAAAGGCTTAATAAATTAAAGGGGACGATAAGACC
CTATAAAGCTTACAATAAGTTACCTATATTAAATTGTTAGTATAACTTGAGTTAGGTAAACGTT
TGTGCGTTGGGCGACGAGAATATAAGTAACGTCTTAAGTTATTAAATGACAGAAATTCT
GGAAAATTAAATGATCCTCTAGAGATCATAAGATTAAAGTTACTTAGGGATAACAGCGTAATC
TCTTGAGAGTCCACATCGACAGGAAGGGTTGCGACCTCGATGTTGAATTAAAGGGTCCTATAAT
GCAGCAGTTATAAAGGAGGGTCTGTCGACCTTAAATCCTACATGATCTGAGTTCAGACCGG

AY344186.1| *Litopenaeus vannamei*

GGTATGTAAAGTCTGGCCTGCCACTGATTATTAAAGGGCCGCGTATACTGACCGTGCAGAAG
GTAGCATAATCATTAGTCTTTAATTGGAGGCTCGTATGAATGGTGGACAAAAAGCAAACGTCT
CAATTATATTATTGAATTAACTTTAAGTAAAAGGCTTAATAAATTAAAGGGGACGATAAGAC
CCTATAAAGCTTACAATAAGTTACCTATATTAAATTGTTAGTATAACTTGAGTTAGGTAAACG
TTGTTGCGTTGGGCGACGAGAATATAAGTAACGTCTTAAGTTATTAAATGACAGAAATT
TGAAAATTAAATGATCCTCTAGAGATCATAAGATTAAAGTTACTTAGGGATAACAGCGTAATC
TTCTTGAGAGTCCACATCGACAGGAAGGGTTGCGACTCGATGTTGAATTAAAGGGTCCTATAAT
GCAGCAGTTATAAAGGAGGGTCTGTCGACCTTAAATCCTACATGATCTGAGTTCAGACCGG

AY344185.1| *Litopenaeus vannamei*

GGTATGTAAAGTCTGGCCTGCCACTGATTATTAAAGGGCCGCGTATACTGACCGTGCAGAAG
GGTAGCATAATCATTAGTCTTTAATTGGAGGCTCGTATGAATGGTGGACAAAAAGCAAACGTCT
TCAATTATATTATTGAATTAACTTTAAGTAAAAGGCTTAATAAATTAAAGGGGACGATAAGA
CCCTATAAAGCTTACAATAAGTTACCTATATTAAATTGTTAGTATAACTTGAGTTAGGTAAACG
TTGTTGCGTTGGGCGACGAGAATATAAGTAACGTCTTAAGTTATTAAATGACAGAAATT
CTGGAAAATTAAATGATCCTCTAGAGATCATAAGATTAAAGTTACTTAGGGATAACAGCGTAATC
TTCTTGAGAGTCCACATCGACAGGAAGGGTTGCGACCTCGATGTTGAATTAAAGGGTCCTATAA
TGCAGCAGTTATAAAGGAGGGTCTGTCGACCTTAAATCCTACATGATCTGAGTTCAGACCGG

AY344184.1| *Litopenaeus vannamei*

GGTATGTAAAGTCTGGCCTGCCACTGATTATTAAAGGGCCGCGTATACTGACCGTGCAGAAG
GTAGCATAATCATTAGTCTTTAATTGGAGGCTCGTATGAATGGTGGACAAAAAGCAAACGTCT
CAATTATATTATTGAATTAACTTTAAGTAAAAGGCTTAATAAATTAAAGGGGACGATAAGAC
CCTATAAAGCTTACAATAAGTTACCTATATTAAATTGTTAGTATAACTTGAGTTAGGTAAACG
TTGTTGCGTTGGGCGACGAGAATATAAGTAACGTCTTAAGTTATTAAATGACAGAAATT
TGAAAATTAAATGATCCTCTAGAGATCATAAGATTAAAGTTACTTAGGGATAACAGCGTAATC
TTCTTGAGAGTCCACATCGACAGGAAGGGTTGCGACCTCGATGTTGAATTAAAGGGTCCTATAA
TGCAGCAGTTATAAAGGAGGGTCTGTCGACCTTAAATCCTACATGATCTGAGTTCAGACCGG

AF192089.1| *Penaeus (Litopenaeus) vannamei*

TAAAGTCTGGCCTGCCACTGATTATTAAAGGGCCGCGTATACTGACCGTGCAGAGTAGCA
TAATCATTAGTCTTTAATTGGAGGCTCGTATGAATGGTGGACAAAAAGCAAACGTCTCAATTAT
ATTATTGAATTAACTTTAAGTAAAAGGCTTAATAAATTAAAGGGGACGATAAGACCTATAA
AGCTTACAATAAGTTACCTATATTAAATTGTTAGTATAACTTGAGTTAGGTAAACGTTGTC
GTTGGGGCGACGAGAATATAAGTAACGTCTTAAGTTATTAAATGACAGAAATTCTGGAAA

ATTAATGATCCTCTACTAGAGATCATAAGATTAAGTTACTTAGGGATAACAGCGTAATCTTCTTG
AGAGTCCACATCGACAGGAAGGGTTGCGACCTCGATGTGAATTAAAGGGTCCTATAATGCAGCA
GTTATAAAGGAGGGTCTGTT

AF192088.1| Penaeus (*Litopenaeus*) vannamei

TAAAGTCTGGCCTGCCACTGATTATTAAAGGGCCCGGTACTGACCGTGCAGAGTAGCA
TAATCATTAGTCTTTAATTGGAGGCTCGTATGAATGGTGGACAAAAGCAAAGTCTCAATTAT
ATTATTGAATTAACTTTAAGTAAAAGGCTAAATAAAATTAAAGGGGACGATAAGACCCTATAA
AGCTTTACAATAAGTTACCTATATTATAAATTGTTAGTATAACTTGAGTTAGGTAACGTTGTC
GTTGGGGCGACGAGAATATAAGTAACTGTTCTAAGTTATTAAATGACAGAAATTCTGGAAA
ATTAATGATCCTCTACTAGAGATCATAAGATTAAGTTACTTAGGGATAACAGCGTAATCTTCTTG
AGAGTCCACATCGACAGGAAGGGTTGCGACCTCGATGTGAATTAAAGGGTCCTATAATGCAGCA
GTTATAAAGGAGGGTCTGTT

شکل ۱۲: توالی نوکلئوتیدهای ژنوم منطقه 16S rRNA میگوهای سفید غربی استخراج شده از بانک جهانی ژن

۳-۲- مقایسه اولیه توالی‌های منطقه 16S rRNA DNA میتوکندریال با سایر توالی‌های مشابه

نتایج حاصل از مقایسه توالی‌های نوکلئوتیدی ناحیه 16S rRNA میتوکندریال این مطالعه با توالی‌های ثبت شده در بانک جهانی ژن با استفاده از نرم افزار Nucleotide BLAST حاکی از آن بود که ۹۷-۱۰۰ درصد شباهت با نمونه‌های ثبت شده در بانک جهانی ژن وجود دارد. همچنین مشاهده شد که ۱۰۰ درصد یکسانی میان توالی‌های مربوط به میگوهای های‌هلث (نسل صفر) و مولوکائی‌های‌هلث (نسل دوم) با توالی‌های ثبت شده در بانک جهانی ژن با شماره‌های ژنی KT596762.1، DQ534543.1، EF584003.1، AY046914.1، AJ132780.1 و GU3241 46.1 وجود دارد. این در حالی بود که یکسانی در توالی‌های مربوط میگوهای مولوکائی (نسل صفر)، های‌هلث‌های‌هلث (نسل اول)، های‌هلث‌مولوکائی (نسل اول) با شماره‌های ژنی فوق ثبت شده در بانک جهانی ژن ۹۹ درصد بود (شکل‌های ۱۳ و ۱۴).

NCBI Blast High Health (F0)						
Sequences producing significant alignments:						
Select: All	None	Selected: 0				
Alignments	Download	GenBank	Graphics	Distance tree of results		
			Description	Max score	Total score	Query cover
			E value	Ident	Accession	
<input type="checkbox"/>			<i>Penaeus vannamei</i> mitochondrial complete genome	920	920	100%
<input type="checkbox"/>			<i>Penaeus vannamei</i> mitochondrial complete genome	920	920	100%
<input type="checkbox"/>			<i>Penaeus vannamei</i> mitochondrial complete genome	920	920	100%
<input type="checkbox"/>			<i>Penaeus vannamei</i> 12S ribosomal RNA gene, partial sequence; tRNA-Val gene, co	920	920	100%
<input type="checkbox"/>			<i>Penaeus vannamei</i> 16S rRNA gene	920	920	100%
<input type="checkbox"/>			<i>Penaeus vannamei</i> voucher DAPV F14 16S ribosomal RNA gene, partial sequence	911	911	98%
<input type="checkbox"/>			<i>Metapenaeus affinis</i> voucher DAPV F7 16S ribosomal RNA gene, partial sequence; n	898	898	98%
<input type="checkbox"/>			<i>Penaeus vannamei</i> 16S ribosomal RNA gene, partial sequence; mitochondrial co	896	896	97%
<input type="checkbox"/>			<i>Penaeus vannamei</i> clone 100 16S ribosomal RNA gene, partial sequence; mitoch	889	889	96%
<input type="checkbox"/>			<i>Penaeus vannamei</i> clone 280 16S ribosomal RNA gene, partial sequence; mitoch	889	889	96%

شکل ۱۳: بلاست کردن توالی مربوط به میگوهای های‌هلث نسل صفر در سایت جهانی ژن

8/28/2016

NCBI Blast:Molokaei (F1)

Sequences producing significant alignments:

Select: All None Selected:0

Alignments	Download	GenBank	Graphics	Distance tree of results	Description	Max score	Total score	Query cover	E value	Ident	Accession
<input type="checkbox"/>	Litopenaeus vannamei mitochondrion, complete genome				909	909	100%	0.0	99%	KT596762.1	
<input type="checkbox"/>	Litopenaeus vannamei mitochondrion, complete genome				909	909	100%	0.0	99%	DQ534543.1	
<input type="checkbox"/>	Litopenaeus vannamei mitochondrion, complete genome				909	909	100%	0.0	99%	EF584003.1	
<input type="checkbox"/>	Litopenaeus vannamei 12S ribosomal RNA gene, partial sequence; tRNA-Val gene, corr				909	909	100%	0.0	99%	AY046914.1	
<input type="checkbox"/>	Penaeus vannamei 16S rRNA gene				909	909	100%	0.0	99%	AJ132780.1	
<input type="checkbox"/>	Litopenaeus vannamei voucher DAAPV F14 16S ribosomal RNA gene, partial sequence				896	896	98%	0.0	99%	GU324145.1	
<input type="checkbox"/>	Metapenaeus affinis voucher DAAPV F7 16S ribosomal RNA gene, partial sequence; mi				883	883	98%	0.0	99%	GU324140.1	
<input type="checkbox"/>	Litopenaeus vannamei 16S ribosomal RNA gene, partial sequence; mitochondrial gene				881	881	96%	0.0	99%	AY264914.1	
<input type="checkbox"/>	Litopenaeus vannamei clone 100 16S ribosomal RNA gene, partial sequence; mitochor				874	874	96%	0.0	99%	AY344191.1	
<input type="checkbox"/>	Litopenaeus vannamei clone 280 16S ribosomal RNA gene, partial sequence; mitochor				874	874	96%	0.0	99%	AY344184.1	

شکل ۱۴: بلاست کردن توالی مربوط به میگوهای مولوکائی نسل صفر در سایت جهانی ژن

از سوی دیگر با توجه به اینکه میگوهای مولوکائی×های هلت (نسل اول) منتج شده بودند لذا بررسی میزان یکسانی آنها حاکی از آن بود که بیش از ۹۹ درصد شباهت میان آنها وجود دارد(شکل ۱۵).

	Description	Max score	Total score	Query cover	E value	Ident	Accession																																																																
<input type="checkbox"/>	Molokaei iMV High Health (F1)	891	891	97%	0.0	99%	Query_54379																																																																
Molokaei × High Health (F1) with High Health × Molokaei (F2)																																																																							
Sequence ID: Query_54379 Length: 488 Number of Matches: 1																																																																							
<table border="1"> <thead> <tr> <th colspan="3">Range 1: 3 to 488 Graphics</th> <th>Next Match</th> <th>Previous Match</th> </tr> <tr> <th>Score</th> <th>Expect</th> <th>Identities</th> <th>Gaps</th> <th>Strand</th> </tr> </thead> <tbody> <tr> <td>891 bits(482)</td> <td>0.0</td> <td>484/486(99%)</td> <td>0/436(0%)</td> <td>Plus/Plus</td> </tr> </tbody> </table>							Range 1: 3 to 488 Graphics			Next Match	Previous Match	Score	Expect	Identities	Gaps	Strand	891 bits(482)	0.0	484/486(99%)	0/436(0%)	Plus/Plus																																																		
Range 1: 3 to 488 Graphics			Next Match	Previous Match																																																																			
Score	Expect	Identities	Gaps	Strand																																																																			
891 bits(482)	0.0	484/486(99%)	0/436(0%)	Plus/Plus																																																																			
<table border="1"> <tbody> <tr> <td>Query 1</td> <td>ACATGTCATATGATTTGTTATGTAAAGTCTGCCCTGCCACTGATTATTAAAGGGCC</td> <td>68</td> </tr> <tr> <td>Sbjct 3</td> <td>ACATGTCATATGATTTGTTATGTAAAGTCTGCCCTGCCACTGATTATTAAAGGGCC</td> <td>62</td> </tr> <tr> <td>Query 61</td> <td>GCGTATACTGACCGTGGGAAGGTAGCCATAATCATTAGTCTTTAAATTGGAGGCTCGTAT</td> <td>128</td> </tr> <tr> <td>Sbjct 63</td> <td>GCCTTATACCTACCGCTGCAAGTAACTATCATTAATGCTTTAATTCGAGCTCTAT</td> <td>122</td> </tr> <tr> <td>Query 121</td> <td>GAATGGTTGGCACAAAAAGCAAATCTGTCCTAAATTATTTTGAATTAACTTTAAGTG</td> <td>188</td> </tr> <tr> <td>Sbjct 123</td> <td>GAATGGTTGGCACAAAAAGCAAATCTGTCCTAAATTATTTTGAATTAACTTTAAGTG</td> <td>182</td> </tr> <tr> <td>Query 181</td> <td>AAAGGCTTAAATTAAATTAAAGGGGACGATAAGACCCATAAAAGCTTAAATAAAGTAC</td> <td>248</td> </tr> <tr> <td>Sbjct 183</td> <td>AAAGGCTTAAATTAAATTAAAGGGGACGATAAGACCCATAAAAGCTTAAATAAAGTAC</td> <td>242</td> </tr> <tr> <td>Query 241</td> <td>TATATATAATGTTAGTAACTGAGTAACTGAGTAACTGAGTAACTGAGTAACTGAG</td> <td>388</td> </tr> <tr> <td>Sbjct 243</td> <td>TATATATAATGTTAGTAACTGAGTAACTGAGTAACTGAGTAACTGAGTAACTGAG</td> <td>382</td> </tr> <tr> <td>Query 301</td> <td>AGATATATAATGAGTAACTGTTAGTAACTGAGTAACTGAGTAACTGAGTAACTGAG</td> <td>368</td> </tr> <tr> <td>Sbjct 303</td> <td>AGATATATAATGAGTAACTGTTAGTAACTGAGTAACTGAGTAACTGAGTAACTGAG</td> <td>362</td> </tr> <tr> <td>Query 361</td> <td>GATCTCTACTAGAGATCATAGATTAAGTAACTGAGTAACTGAGTAACTGAGTAACT</td> <td>428</td> </tr> <tr> <td>Sbjct 363</td> <td>GATCTCTACTAGAGATCATAGATTAAGTAACTGAGTAACTGAGTAACTGAGTAACT</td> <td>422</td> </tr> <tr> <td>Query 421</td> <td>GAGAGTCCACATCGACAGGAAAGGTTGGACCTGGATTTGAATTAAAGGGCTCTTAA</td> <td>488</td> </tr> <tr> <td>Sbjct 423</td> <td>GAGAGTCCACATCGACAGGAAAGGTTGGACCTGGATTTGAATTAAAGGGCTCTTAA</td> <td>482</td> </tr> <tr> <td>Query 481</td> <td>TGCAAC 486</td> <td></td> <td></td> <td></td> <td></td> <td></td> <td></td> </tr> <tr> <td>Sbjct 483</td> <td>NGCAGC 488</td> <td></td> <td></td> <td></td> <td></td> <td></td> <td></td> </tr> </tbody> </table>								Query 1	ACATGTCATATGATTTGTTATGTAAAGTCTGCCCTGCCACTGATTATTAAAGGGCC	68	Sbjct 3	ACATGTCATATGATTTGTTATGTAAAGTCTGCCCTGCCACTGATTATTAAAGGGCC	62	Query 61	GCGTATACTGACCGTGGGAAGGTAGCCATAATCATTAGTCTTTAAATTGGAGGCTCGTAT	128	Sbjct 63	GCCTTATACCTACCGCTGCAAGTAACTATCATTAATGCTTTAATTCGAGCTCTAT	122	Query 121	GAATGGTTGGCACAAAAAGCAAATCTGTCCTAAATTATTTTGAATTAACTTTAAGTG	188	Sbjct 123	GAATGGTTGGCACAAAAAGCAAATCTGTCCTAAATTATTTTGAATTAACTTTAAGTG	182	Query 181	AAAGGCTTAAATTAAATTAAAGGGGACGATAAGACCCATAAAAGCTTAAATAAAGTAC	248	Sbjct 183	AAAGGCTTAAATTAAATTAAAGGGGACGATAAGACCCATAAAAGCTTAAATAAAGTAC	242	Query 241	TATATATAATGTTAGTAACTGAGTAACTGAGTAACTGAGTAACTGAGTAACTGAG	388	Sbjct 243	TATATATAATGTTAGTAACTGAGTAACTGAGTAACTGAGTAACTGAGTAACTGAG	382	Query 301	AGATATATAATGAGTAACTGTTAGTAACTGAGTAACTGAGTAACTGAGTAACTGAG	368	Sbjct 303	AGATATATAATGAGTAACTGTTAGTAACTGAGTAACTGAGTAACTGAGTAACTGAG	362	Query 361	GATCTCTACTAGAGATCATAGATTAAGTAACTGAGTAACTGAGTAACTGAGTAACT	428	Sbjct 363	GATCTCTACTAGAGATCATAGATTAAGTAACTGAGTAACTGAGTAACTGAGTAACT	422	Query 421	GAGAGTCCACATCGACAGGAAAGGTTGGACCTGGATTTGAATTAAAGGGCTCTTAA	488	Sbjct 423	GAGAGTCCACATCGACAGGAAAGGTTGGACCTGGATTTGAATTAAAGGGCTCTTAA	482	Query 481	TGCAAC 486							Sbjct 483	NGCAGC 488						
Query 1	ACATGTCATATGATTTGTTATGTAAAGTCTGCCCTGCCACTGATTATTAAAGGGCC	68																																																																					
Sbjct 3	ACATGTCATATGATTTGTTATGTAAAGTCTGCCCTGCCACTGATTATTAAAGGGCC	62																																																																					
Query 61	GCGTATACTGACCGTGGGAAGGTAGCCATAATCATTAGTCTTTAAATTGGAGGCTCGTAT	128																																																																					
Sbjct 63	GCCTTATACCTACCGCTGCAAGTAACTATCATTAATGCTTTAATTCGAGCTCTAT	122																																																																					
Query 121	GAATGGTTGGCACAAAAAGCAAATCTGTCCTAAATTATTTTGAATTAACTTTAAGTG	188																																																																					
Sbjct 123	GAATGGTTGGCACAAAAAGCAAATCTGTCCTAAATTATTTTGAATTAACTTTAAGTG	182																																																																					
Query 181	AAAGGCTTAAATTAAATTAAAGGGGACGATAAGACCCATAAAAGCTTAAATAAAGTAC	248																																																																					
Sbjct 183	AAAGGCTTAAATTAAATTAAAGGGGACGATAAGACCCATAAAAGCTTAAATAAAGTAC	242																																																																					
Query 241	TATATATAATGTTAGTAACTGAGTAACTGAGTAACTGAGTAACTGAGTAACTGAG	388																																																																					
Sbjct 243	TATATATAATGTTAGTAACTGAGTAACTGAGTAACTGAGTAACTGAGTAACTGAG	382																																																																					
Query 301	AGATATATAATGAGTAACTGTTAGTAACTGAGTAACTGAGTAACTGAGTAACTGAG	368																																																																					
Sbjct 303	AGATATATAATGAGTAACTGTTAGTAACTGAGTAACTGAGTAACTGAGTAACTGAG	362																																																																					
Query 361	GATCTCTACTAGAGATCATAGATTAAGTAACTGAGTAACTGAGTAACTGAGTAACT	428																																																																					
Sbjct 363	GATCTCTACTAGAGATCATAGATTAAGTAACTGAGTAACTGAGTAACTGAGTAACT	422																																																																					
Query 421	GAGAGTCCACATCGACAGGAAAGGTTGGACCTGGATTTGAATTAAAGGGCTCTTAA	488																																																																					
Sbjct 423	GAGAGTCCACATCGACAGGAAAGGTTGGACCTGGATTTGAATTAAAGGGCTCTTAA	482																																																																					
Query 481	TGCAAC 486																																																																						
Sbjct 483	NGCAGC 488																																																																						

شکل ۱۵: شباهت نوکلئوتیدی میان میگوهای مولوکائی×های هلت (نسل اول) با میگوهای مولوکائی×های هلت (نسل دوم)

این در حالی بود که مقایسه یکسانی میگوهای مولوکائی^xهای هلت (نسل دوم) با میگوهای مولوکائی (نسل صفر) با استفاده از نرم افزار BLAST Nucleotide حاکی از آن بود که ۱۰۰ درصد شباهت ژنی میان آنها وجود دارد(شکل ۱۶).

	Description	Max score	Total score	Query cover	E value	Ident	Accession
 High Health (F0)		898	898	97%	0.0	100%	Query_164569

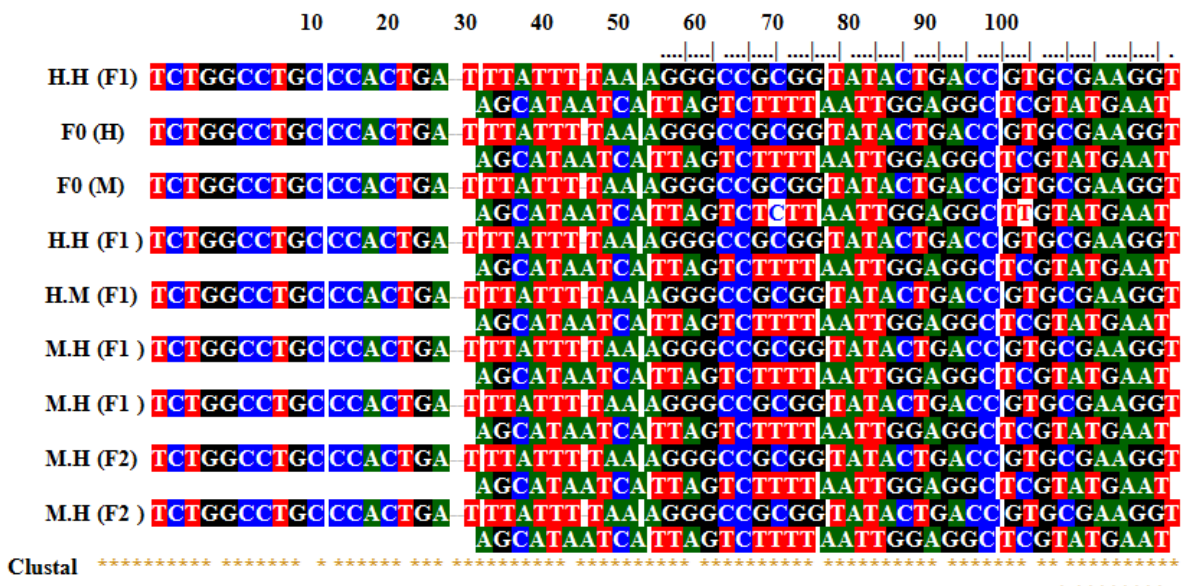
Molokaei (F0) with High Health × Molokaei (F2)
Sequence ID: Query_164569 Length: 498 Number of Matches: 1

Range 1: 2 to 487 Graphics			Next Match	Previous Match
Score	Expect	Identities	Gaps	Strand
898 bits(486)	0.0	486/486(100%)	0/486(0%)	Plus/Plus
Query 1	ACATGTCTATATGATTGGTAGTAAAGCTGGCTGCCACTGATTATTTAAAGGGCC		60	
Sbjct 2	ACATGTCTATATGATTGGTAGTAAAGCTGGCTGCCACTGATTATTTAAAGGGCC		61	
Query 61	GCGGTATACTGACCGTGCAGAAGGTAGCATATACTTAAAGGGCTCGTAT		120	
Sbjct 62	GCGGTATACTGACCGTGCAGAAGGTAGCATATACTTAAAGGGCTCGTAT		121	
Query 121	GAATGGTTGGACAAAAAGCAAACGTGCTCAATTATTTAATTTGAATTAACTTTAAAGTG		180	
Sbjct 122	GAATGGTTGGACAAAAAGCAAACGTGCTCAATTATTTAATTTGAATTAACTTTAAAGTG		181	
Query 181	AAAAGGCTTAAATAATTAAAGGGGACGATAAGACCCATAAAAGCTTACAATAAGTTACC		240	
Sbjct 182	AAAAGGCTTAAATAATTAAAGGGGACGATAAGACCCATAAAAGCTTACAATAAGTTACC		241	
Query 241	TATATTATAAAATTGTAGTATAACTTGAGTTAGTAACGTTTGTGGGTTGGGGCAGC		300	
Sbjct 242	TATATTATAAAATTGTAGTATAACTTGAGTTAGTAACGTTTGTGGGTTGGGGCAGC		301	
Query 301	AGAATATAATAAGTAACTGTTCTAACGTTAACGAGAAATTCTGAAAATTAAAT		360	
Sbjct 302	AGAATATAATAAGTAACTGTTCTAACGTTAACGAGAAATTCTGAAAATTAAAT		361	
Query 361	GATCCCTACTAGAGATCATAAAGTTAACGTTAACAGCGTAATCTCTTT		420	
Sbjct 362	GATCCCTACTAGAGATCATAAAGTTAACGTTAACAGCGTAATCTCTTT		421	
Query 421	GAGAGTCCACATCGACAGGAAGGGTTGCGACCTCGATGTTGAATTAAAGGTTCTTATAA		480	
Sbjct 422	GAGAGTCCACATCGACAGGAAGGGTTGCGACCTCGATGTTGAATTAAAGGTTCTTATAA		481	
Query 481	TGCAGC 486			
Sbjct 482	TGCAGC 487			

شکل ۱۶: شباهت نوکلئوتیدی میان میگوهای مولوکائی^xهای هلت (نسل دوم) با میگوهای مولوکائی (نسل صفر)

۳-۳- همدمیفی توالی‌های ناحیه 16S rRNA نسل‌های مختلف میگو

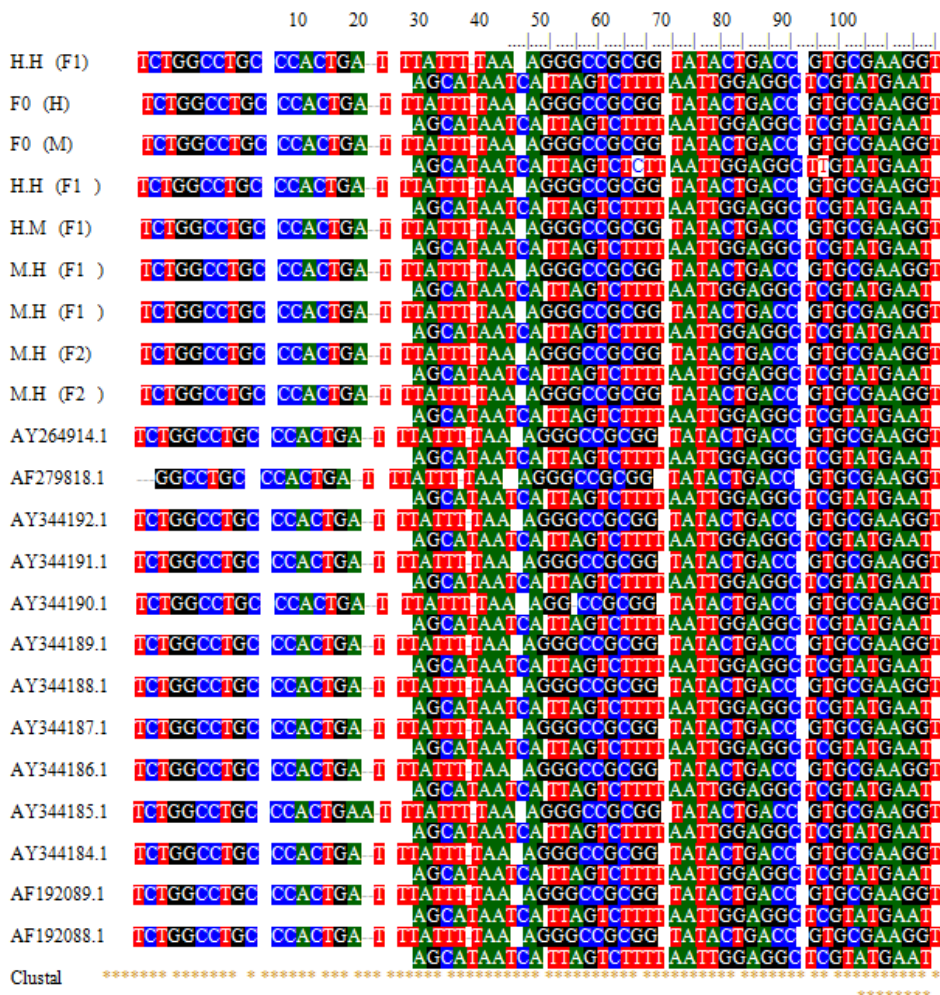
نتایج حاصل از هم ردیف نمودن توالی‌های مربوط به نسل‌های مختلف میگوی عاری از بیماری خاص در این مطالعه حاکی از آن بود که توالی‌های مربوط به نسل‌های مختلف میگو کاملاً با همدیگر مشابه می‌باشند و هیچگونه اختلافی در میان آنها مشاهده نمی‌شود(شکل ۱۷).



شکل ۱۷: هم‌دیفی توالی‌های نوکلئوتیدی نسل‌های مختلف میگو و شباهت میان آنها

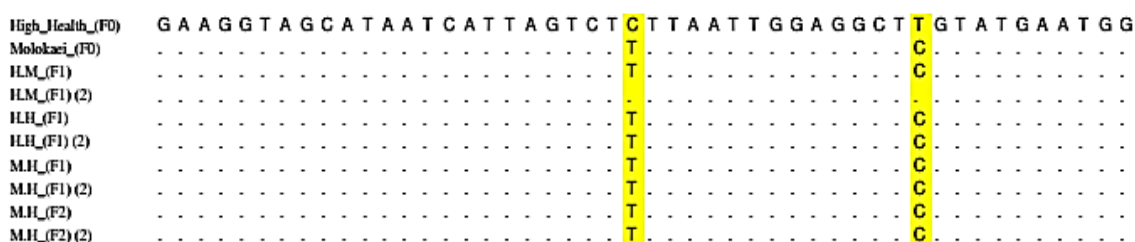
۳-۴- هم‌دیفی اولیه توالی‌های ناحیه 16S rRNA با توالی‌های موجود در بانک جهانی ژن

با توجه به نتایج بدست آمده مشاهده شد که توالی‌های مربوط به نسل‌های مختلف میگو در برخی از مناطق ژنوم 16S rRNA با توالی‌های ثبت شده در بانک جهانی ژن متفاوت هستند. لیکن این تفاوت در شماره‌های ژنی AY344186.1، AY344188.1، AY344190.1، AY344192.1، AY344185.1، AF279818.1 (شکل ۱۸).



شکل ۱۸: همدمیفی توالی‌های نوکلئوتیدی نسل‌های مختلف میگو و توالی‌های ثبت شده در بانک جهانی ژن و شباهت میان آنها

۳-۵- ترکیب نوکلئوتیدی حاصله از همدمیفی توالی‌های ناحیه 16S rRNA ۱۶ نسل‌های مختلف میگو با توجه به همدمیفی توالی‌های مربوط به نسل‌های مختلف میگو نتایج حاصل از مطالعه حاکی از آن بود که از بین ۴۸۶ جایگاه، ۴۸۴ جایگاه حفاظت شده و ۲ جایگاه متغیر وجود دارد که در هر دو جایگاه اطلاعات فیلوزنیک در شرایط پارسیمونی گنجانده شده بود و هیچ جایگاه سینگلتونی وجود نداشت (شکل ۱۹).



شکل ۱۹: مناطق محافظت شده و متغیر در توالی‌های مربوط به نسل‌های مختلف میگو

همچنین بررسی ترکیب بازی در تاچیه 16S rRNA حاکی از آن بود که توالی این ناحیه غنی از AT به میزان ۶۵/۲ درصد بود که متوسط محتوی آن ۶۵/۱ درصد می‌باشد. همچنین متوسط محتوی بازی این توالی شامل ۳۲/۷، ۱۴/۰، ۳۲/۳ و ۲۱/۰ درصد به ترتیب برای بازه‌های T، C، A و G می‌باشد (جدول ۳).

جدول ۳: درصد ترکیب بازی در تاچیه 16S rRNA

جمعیت	T(U) %	C %	A %	G %	AT %	Total
High Health (F0)	32.7	14.0	32.3	21.0	65.0	486.0
Molokaei (F0)	32.7	14.0	32.3	21.0	65.0	486.0
H.M (F1)	32.8	13.8	32.4	21.0	65.2	485.0
H.H (F1)	32.7	14.0	32.3	21.0	65.0	486.0
M.H (F1)	32.6	14.0	32.4	20.9	65.1	484.0
M.H (F2)	32.7	14.0	32.3	21.0	65.0	486.0
Avg.	32.7	14.0	32.3	21.0	65.1	485.6

۳-۶- تخمین MCL الگوی جانشینی نوکلئوتیدی برای بازها

با توجه به اینکه در جدول ۴ عدد، احتمال جانشینی از یک باز (ردیف) به باز (ستون) دیگر را نشان می‌دهد. لذا برای سادگی کار جمع همه جانشینی‌ها، معادل ۱۰۰ در نظر گرفته شده است. سرعت‌های متفاوت جانشینی‌های ترانزیشن بصورت اعداد بولد و جانشینی‌های ترانسورژن بصورت اعداد ایتالیک نمایش داده شده است. فراوانی نوکلئوتیدها ۳۲/۵۱ برای A، ۳۲/۷۱ برای T، ۱۳/۸۷ درصد برای C و ۲۰/۹۱ درصد برای G محاسبه شد. نسبت ترانزیشن به ترانسورژن برای پورین‌ها (K_1) و برای پریمیدین‌ها (K_2) به ترتیب معادل با ۱ و ۱۰۰۰ تخمین زده شده است. گرایش ترانزیشن به ترانسورژن سرتاسری نیز معادل با R و ۱۸۲/۶۳۳ محاسبه شد.

R به شرح زیر محاسبه می‌شود:

$$R: [A \times G \times K_1 \times T \times C \times K_2] / [(A+G) \times (T+C)]$$

جدول ۴: تخمین MCL الگوی جانشینی نوکلئوتیدی برای بازها

Maximum Composite Likelihood Estimate of the Pattern of Nucleotide Substitution				
	A	T	C	G
A	-	0.07	0.03	0.04
T	0.07	-	29.62	0.04
C	0.07	69.84	-	0.04
G	0.07	0.07	0.03	-

۳-۷- شاخص‌های ژنتیکی نسل‌های مختلف میگوی سفید غربی عاری از بیماری خاص

تجزیه و تحلیل ۴۸۶ جفت باز توالی 16S rRNA ژنوم میتوکندری نسل‌های مختلف میگوی سفید غربی با استفاده از نرم افزار DnaSP نشان داد که تعداد هاپلوتیپ‌های شناسایی شده در میان نسل‌های مختلف میگوی سفید غربی عاری از بیماری خاص در دامنه ۳-۶ عدد وجود داشت. این در حالی بود که میزان پلی‌مورف شدن جایگاه‌ها در

دامنه ۱۹۸-۲۳۱ بود (جدول ۵). این در حالی بود که میزان جریان ژنی و تمایز ژنی میان نسل‌های مختلف میگو به ترتیب ۰/۱۴۲ و ۰/۲۰۰ بود.

جدول ۵: میزان شاخص‌های ژنتیکی نسل‌های مختلف میگوی عاری از بیماری خاص

نسل‌های مختلف میگو						پارامتر
M.H (F2)	M.H (F1)	H.M (F1)	H.H (F1)	M (F0)	H (F0)	
۴۸۶	۴۸۶	۴۸۶	۴۸۶	۴۸۶	۴۸۶	تعداد جایگاه مورد بررسی
۱	۱	۲	۱	۱	۱	تعداد هاپلوتیپ
۰	۰	۲	۰	۰	۰	تعداد پلی‌مورف
۴۸۶	۴۸۴	۴۸۲	۴۸۶	۴۸۶	۴۸۶	تعداد مونومورف
۰	۰	۲	۰	۰	۰	سینگلتون
۰	۰	۰	۰	۰	۰	پارسیمون
۰/۰۰۰±۰/۰۰۰	۰/۰۰۰±۰/۰۰۰	۱/۰۰±۰/۵۰	۰/۰۰۰±۰/۰۰۰	۰/۰۰۰±۰/۰۰۰	۰/۰۰۰±۰/۰۰۰	تنوع هاپلوتیپی
% ۰/۰۰۰	% ۰/۰۰۰	% ۰/۰۴۴۱۳	% ۰/۰۰۰	% ۰/۰۰۰	% ۰/۰۰۰	تنوع نوکلئوتیدی
۱/۰۰	۱/۰۰	۰/۹۸۷	۱/۰۰	۱/۰۰	۱/۰۰	هموزیگوستی

H: High Health, M: Molokaei, H.H: High Health×High health, H.M: High Health×Molokaei, M.H: Molokaei× High Health.

۳-۸- آنالیز فیلوژنیک توالی 16S rRNA میتوکندریال نسل‌های مختلف میگو

نتایج حاصل از بررسی آنالیز فیلوژنیک ماتریکس فاصله ژنتیکی حاکی از یکسانی بسیار قابل توجه نسل‌های مختلف میگو بود بطوریکه نمونه‌ها با همدیگر بیش از ۹۹ درصد شباهت داشتند. این در حالی بود که بیشترین تفاوت میان میگوهای نسل صفر جمعیت مولوکائی و های هلت ۰/۰۰۴ محاسبه شد. کمترین اختلاف مشاهده شده میان میگوهای نسل اول و دوم با میگوهای نسل صفر بود (جدول ۶).

جدول ۶: فاصله ژنتیکی میان نسل‌های مختلف میگوی سفید غربی عاری از بیماری خاص

در بررسی توالی منطقه 16S rRNA میتوکندریال

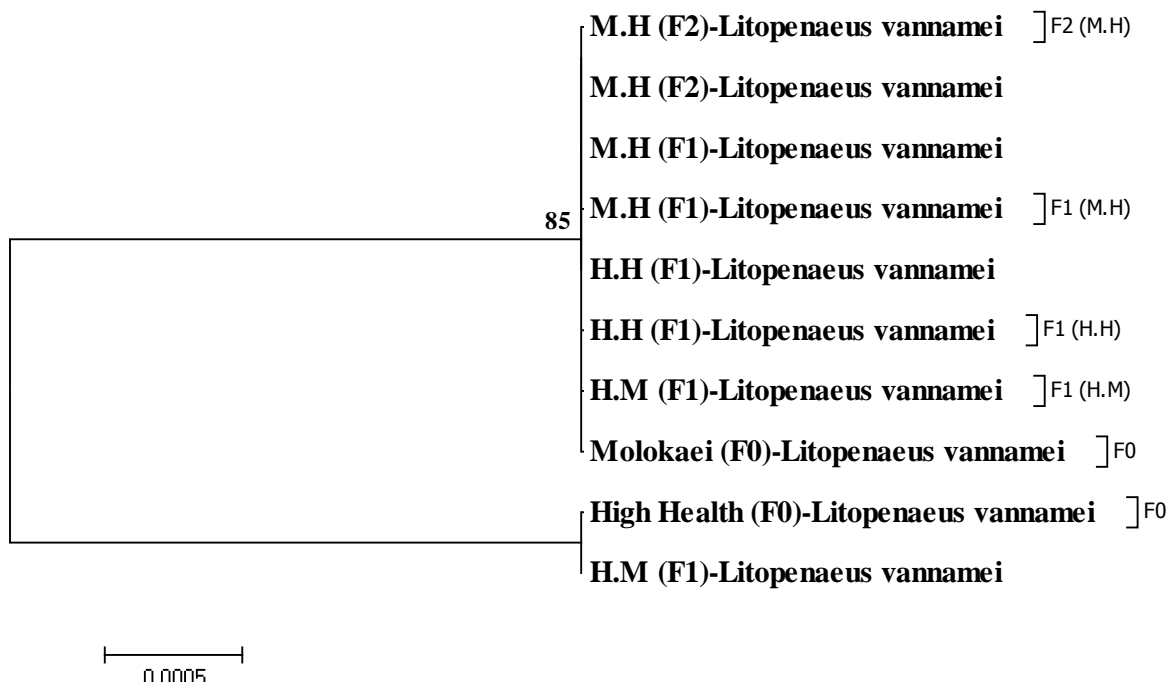
	۱	۲	۳	۴	۵	۶
1. High_Health_(F0)		0.003	0.001	0.003	0.003	0.003
2. Molokaei_(F0)	0.004		0.001	0.000	0.000	0.000
3. H.M_(F1)	0.002	0.002		0.001	0.001	0.001
4. H.H_(F1)	0.004	0.000	0.002		0.000	0.000
5. M.H_(F1)	0.004	0.000	0.002	0.000		0.000
6. M.H_(F2)	0.004	0.000	0.002	0.000	0.000	

همچنین مقایسه میان توالی نسل‌های مختلف میگوی عاری از بیماری خاص با توالی ثبت شده در بانک جهانی ژن حاکی از آن بود که میزان فاصله ژنتیکی میان میگو‌های های‌هلث (نسل صفر) و های‌هلث×مولوکائی (نسل اول) ۰/۰۰۴ می‌باشد (جدول ۷).

جدول ۷: فاصله ژنتیکی میان نسل‌های مختلف میگوی سفید غربی عاری از بیماری خاص با توالی‌های ثبت شده در بانک جهانی ژن

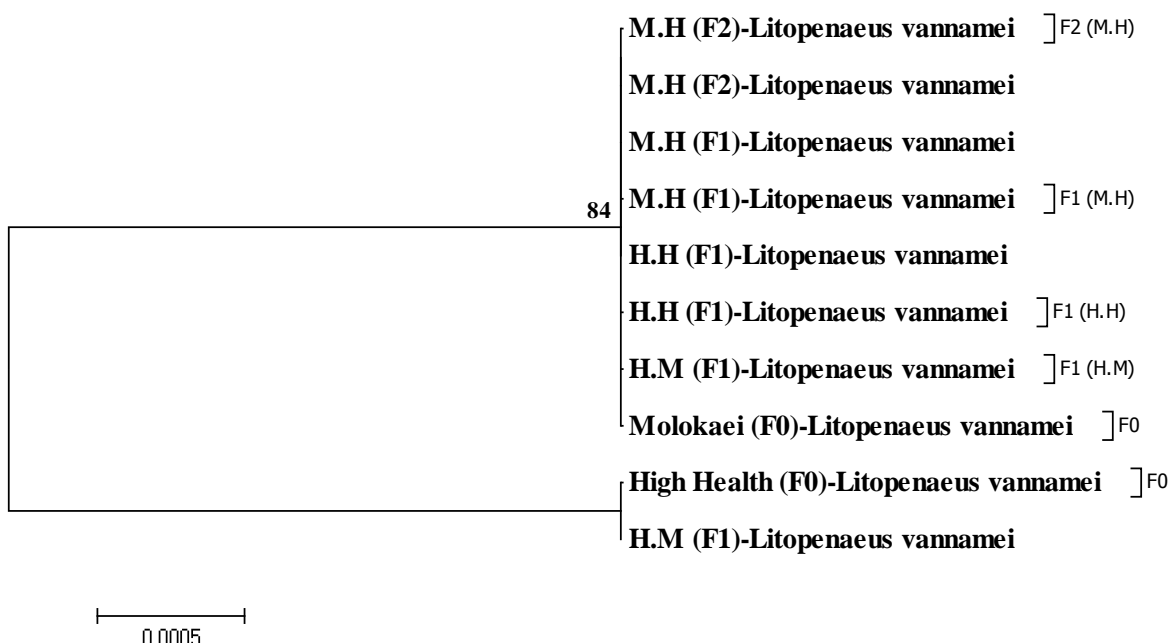
	1	2	3	4	5	6	7	8	9	10	11
1. High_Health_(F0)		0.003	0.000	0.003	0.003	0.003	0.003	0.003	0.003	0.003	0.003
2. Molokaei_(F0)	0.004		0.003	0.000	0.000	0.000	0.000	0.000	0.000	0.000	0.000
3. H.M_(F1)	0.000	0.004		0.003	0.003	0.003	0.003	0.003	0.003	0.003	0.003
4. H.H_(F1)	0.004	0.000	0.004		0.000	0.000	0.000	0.000	0.000	0.000	0.000
5. M.H_(F1)	0.004	0.000	0.004	0.000		0.000	0.000	0.000	0.000	0.000	0.000
6. M.H_(F2)	0.004	0.000	0.004	0.000	0.000		0.000	0.000	0.000	0.000	0.000
7. AY264914.1	0.004	0.000	0.004	0.000	0.000	0.000		0.000	0.000	0.000	0.000
8. AF279818.1	0.004	0.000	0.004	0.000	0.000	0.000	0.000		0.000	0.000	0.000
9. AY344192.1	0.004	0.000	0.004	0.000	0.000	0.000	0.000	0.000		0.000	0.000
10. AY344191.1	0.004	0.000	0.004	0.000	0.000	0.000	0.000	0.000	0.000		0.000
11. AY344190.1	0.004	0.000	0.004	0.000	0.000	0.000	0.000	0.000	0.000	0.000	

نتایج حاصل از آنالیز فیلوزنیک نمونه‌ها بر اساس الگوریتم‌های BioNJ و Neighbor-Joining و حاکی از آن بود که به دلیل شباهت بالای میگو‌های نسل‌های مختلف میگوی عاری از بیماری خاص به ترتیب ۸۵ و ۸۴ درصد است و که هیچگونه تفاوتی میان نمونه‌ها مشاهده نشد (نمودارهای ۳ و ۴).



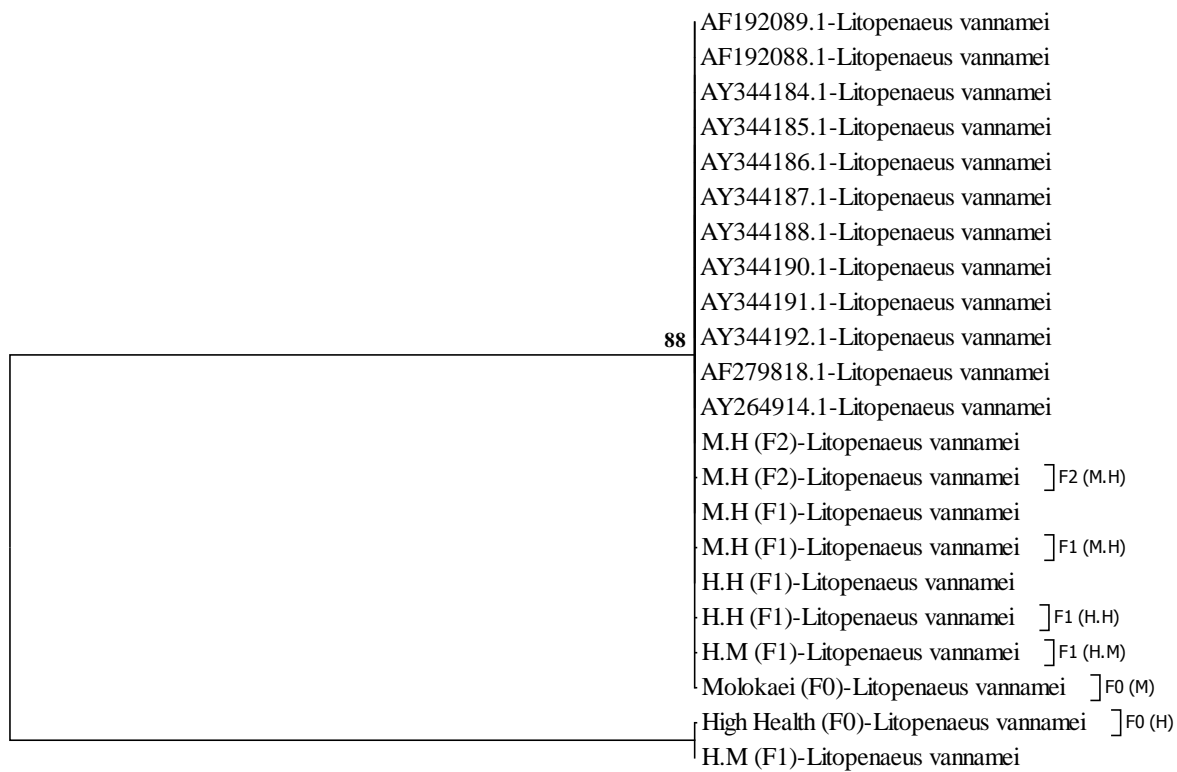
نمودار ۳: آنالیز فیلوزنیک منطقه 16S rRNA میتوکندریال نسل‌های مختلف میگوی سفید غربی عاری از

بیماری خاص براساس الگوریتم Neighbor-Joining

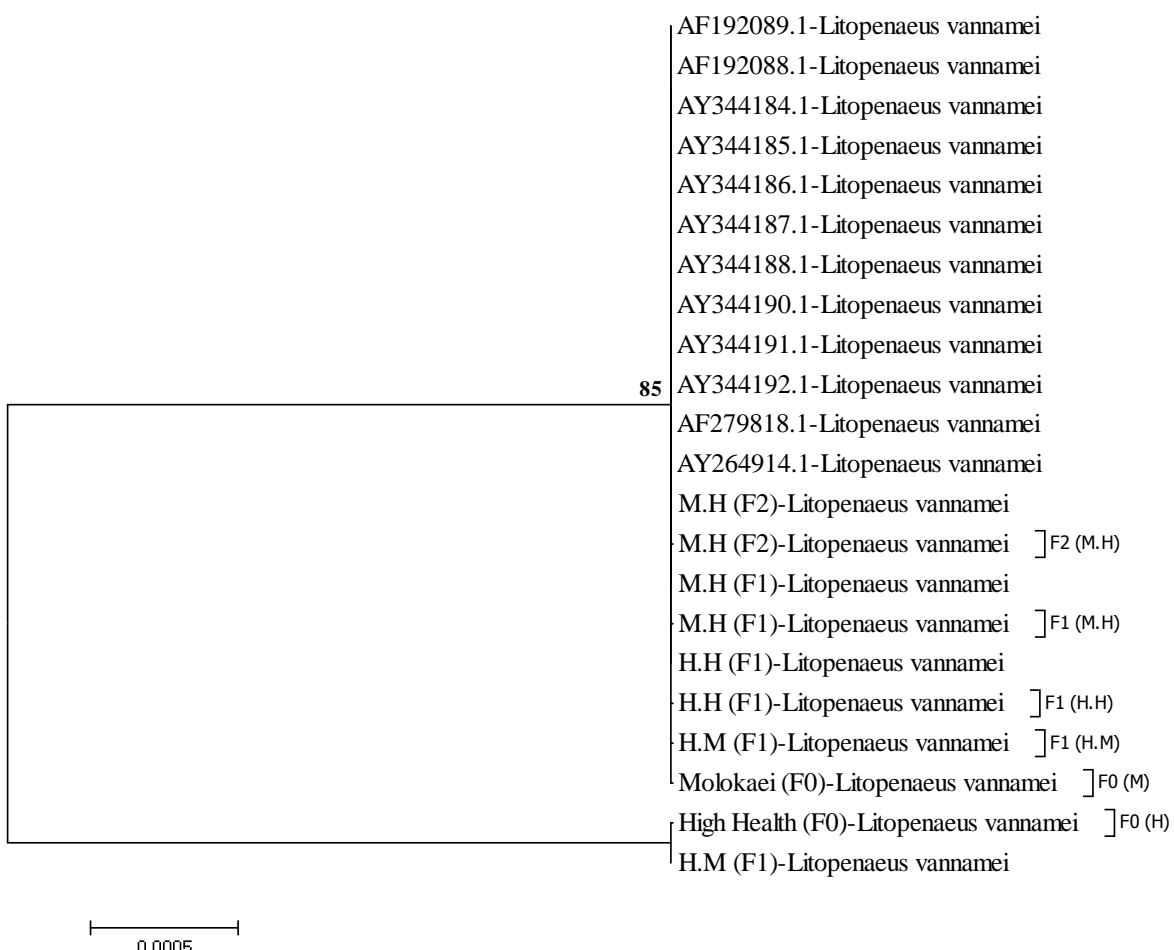


نمودار ۴: آنالیز فیلوزنیک منطقه 16S rRNA میتوکندریال نسل‌های مختلف میگویی سفید غربی عاری از بیماری خاص براساس الگوریتم BioNJ

همچنین نتایج حاصل از آنالیز فیلوزنیک نمونه‌ها بر اساس الگوریتم‌های Neighbor-Joining و BioNJ در مقایسه با توالی‌های ثبت شده در بانک جهانی ژن حاکی از آن عدم وجود اختلاف و شباهت بالای میگوهای عاری از بیماری خاص با سایر توالی‌های ثبت شده در بانک جهانی ژن بود (نمودار های ۵ و ۶).



نمودار ۵: آنالیز فیلوجنتیک منطقه 16S rRNA میتوکندریال نسل‌های مختلف میگوی سفید غربی عاری از
بیماری خاص در مقایسه با توالی‌های ثبت شده در بانک جهانی ژن براساس الگوریتم Neighbor-Joining



نمودار ۶: آنالیز فیلوجنتیک منطقه 16S rRNA میتوکندریال نسل‌های مختلف میگوی سفید غربی عاری از بیماری خاص در مقایسه با توالی‌های ثبت شده در بانک جهانی ژن براساس الگوریتم BioNJ

۴- بحث

در مطالعه حاضر از ژن 16S rRNA میتوکندریایی برای بررسی تفاوت‌های ژنتیکی نسل‌های مختلف میگوی عاری بیماری خاص استفاده شد. توالي یابی این ژن اطلاعات مفیدی در خصوص شاخص‌های ژنتیکی نسل‌های مختلف میگوی عاری از بیماری خاص ارائه داد. تمام DNA های استخراج شده دارای کیفیت و کمیت قابل قبولی برای انجام واکنش PCR بودند، بطوریکه تمامی محصول PCR بر روی ژل بدون هیچگونه آلودگی پروتئینی و یا باند اضافه مشاهده شدند.

با توجه به نتایج بدست آمده از ردیف سازی توالي‌های ژن 16S rRNA حاصل از مطالعه مذکور از ۴۸۶ جفت باز ردیف سازی شده تمامی توالي‌های فاقد هر گونه موارد حذف یا اضافه شدن بودند. از این رو از ۴۸۶ جایگاه ردیف سازی شده از توالي ژن 16S rRNA، ۴۸۶ جایگاه ردیف سازی شده از توالي ژن 16S rRNA جایگاه حفاظت شده وجود داشت که از این تعداد ۲ جایگاه متغیر وجود داشت که در هر دو جایگاه اطلاعات فیلوژنتیک در شرایط پارسیمونی گنجانده شده بود و هیچ جایگاه سینگلتونی وجود نداشت. همچنین در بین نسل‌های مختلف میگو عاری از بیماری خاص تنها ۲ جایگاه دچار جهش شده بودند که این میزان بیانگر نرخ اندک جهش در این منطقه از ژنوم میتوکندری نسل‌های مختلف میگو می‌باشد. از سوی دیگر تعداد هاپلوتیپ‌های و جایگاه‌های پلی‌مورف مشاهده شده در تمامی نمونه‌های مربوط به نسل‌های مختلف میگو تنها ۰/۰۰۱۴۷ و ۰/۰۰۳۵۶±۰/۱۵۹ عدد بود. این در حالی بود که میزان تنوع هاپلوتیپی و تنوع نوکلئوتیدی به ترتیب ۰/۰۰۱۴۷ و ۰/۰۰۳۵۶±۰/۱۵۹ درصد محاسبه شد، که این میزان حاکی از پائین بودن میزان تنوع نوکلئوتیدی در نسل‌های مختلف میگوی می‌باشد از این رو مقدار اندک این شاخص با سایر مقادیر تنوع ژنتیکی بدست آمده مطابقت دارد.

در این رابطه شهرانی کرانی و همکاران (۱۳۹۴) در بررسی تنوع ژنتیکی میگوی سر تیز (*Metapenaeus affinis*) در خلیج فارس بر اساس توالي ژن میتوکندریایی 16S rRNA عنوان نمودند که میانگین تنوع هاپلوتیپی بین سه منطقه بندرعباس، بوشهر و آبدان ۰/۰۰۷±۰/۰۰۸ و میانگین تنوع نوکلئوتیدی ۰/۰۰۳±۰/۰۰۲ محسوبه شد. نتایج بیانگر متوسط بودن میزان تنوع هاپلوتیپی و کم بودن میزان تنوع نوکلئوتیدی در میگوهای جمع آوری شده از مناطق مورد مطالعه بود.

این در حالی بود که مقایسه نتایج مطالعه حاضر، با نتایج بررسی تنوع ژنتیکی میگوی موزی (*Fenneropenaeus merguiensis*) با توالي یابی ژن 16S rRNA در خوریات لافت و سیرک استان هرمزگان حاکی از وجود تنوع ژنتیکی بالا در میگوهای این منطقه نسبت به تنوع ژنتیکی پائین مشاهده شد در نسل‌های مختلف میگوی عاری از بیماری خاص بود (سوری نژاد و همکاران، ۱۳۹۳). از این رو نتایج بدست آمده نشان داد که ژن 16S rRNA میتوکندریایی در میگوهای پرورشی نسل‌های مختلف میگوی عاری از بیماری خاص به شدت محافظت شده بود، به گونه‌ای که میزان تنوع ژنتیکی و نوکلئوتیدی به شدت کاهش یافته بود. در نتیجه می‌توان عنوان نمود که به دلیل نگهداری میگوهای سفید غربی پرورشی تحت اسارات و غیربومی بودن آنها و همچنین عدم دسترسی به

مولدهای وحشی به دلیل افزایش جریان‌های ژنی میان نسل‌های مختلف مقادیر تنوع ژنی به شدت کاهش یافته بود. از سوی دیگر بررسی فاصله ژنتیکی میان نسل‌های مختلف میگوی عاری از بیماری خاص حاکی از فاصله ژنتیکی بسیار کم میان نسل‌های مختلف میگوی بود که ممکن است به دلیل حفاظت بالای جایگاه‌های موجود در منطقه 16S rRNA و تکامل کم آن باشد. شایان ذکر است که ایجاد تنوع در این منطقه قادر است در تعیض میان گونه‌ها نسبت به درون گونه به میزان دقیق تری عمل می‌کند و توالی پیدا شده در منطقه 16S rRNA قادر است هاپلوتیپ‌های یک گونه را شناسایی نماید (Meyer, 1994). در این رابطه Maggioni و همکاران (۲۰۰۱) با استفاده از ژنوم منطقه 16S rRNA عنوان نمودند که میگوی *F. subtilis* می‌تواند الگوی ژنتیکی متفاوتی نسبت به سایر گونه‌ها داشته باشد. در مقابل جایگاه ژنوم میتوکندری در منطقه 16S rRNA، بررسی ژنوم منطقه سیتوکروم اکسیداز I (COI) قابلیت بیشتری در تعیین تمایز ژنتیکی و تفاوت ژنتیکی میگوها می‌تواند ایفاد کند. بطوریکه این توالی‌های قادرند تنوع نوکلئوتیدی کافی را بمنظور تعیین هاپلوتیپ ایجاد شده در هر مولد نشان دهند. در این رابطه Grijalva-Chon و همکاران (۲۰۱۳) با استفاده از ژنوم منطقه سیتوکروم اکسیداز برای *F. subtilis*، ۸ جایگاه متنوع شناسایی نمودند این در حالی بود در مقایسه صورت گرفته میان این میگوی *F. subtilis* با میگوی سفید غربی ۷۰ جایگاه متفاوت شناسایی شد. در واقع نرخ جایگزینی ارائه شده توسط ژن COI تا حدودی بالاتر می‌باشد، که این امر می‌تواند منجر به تشخیص تفاوت‌های ژنتیکی بین جمعیت‌های مختلف از یک گونه یکسان شود (Gusmão et al., 2000).

از سوی دیگر به دلیل کم بودن فاصله ژنتیکی میان نسل‌های مختلف میگو بررسی درخت فایلوزنیک بر اساس دو الگوریتم BioNJ و Neighbor-Joining نشان داد که میگوهای حاصل از آمیش میگوهای های‌هلث و مولوکائی شباهت بالایی با میگوهای های‌هلث نسل صفر دارند. این در حالی بود که دیگر نسل‌های میگو در یک شاخه قرار می‌گرفتند (سپرهم و همکاران، ۱۳۹۲).

در این رابطه Gusmão و همکاران (۲۰۰۰) عنوان نمودند که به دلیل فاصله ژنتیکی کم برای پنج مولد میگوی سفید غربی (۱۰/۲-۱۰/۰ درصد) شباهت زیادی بین آنها وجود دارد. لذا مطلب فوق می‌تواند تأیید کننده نتایج بدست آمده از این تحقیق باشد. این در حالی است که بررسی برخی از گونه‌های پنائیده توسط توالی ژنوم COI فواصل ژنتیکی میان نمونه‌های مختلف میگو را بخوبی نشان داد، آنها عنوان نمودند که این حالت ناشی از عدم وجود مناطق غیر محافظت شده در ژنوم منطقه سیتوکروم اکسیداز است، به گونه‌ای که میانگین فاصله ژنتیکی بین میگوی سفید غربی و گونه *F. subtilis* ۱۰/۹۴ درصد بود که نزدیک به ۸/۱ درصد فاصله ژنتیکی بدست آمده توسط Gusmao و همکاران (۲۰۰۰) برای گونه‌های *Farfantepenaeus paulensis* and *F. subtilis* را شامل می‌شد (Grijalva-Chon et al., 2013).

همچنین عنوان شده که احتمال دارد که وجود مقادیر کم فاصله ژنتیکی بین نسل‌های مختلف میگو ناشی از جهش‌هایی باشد که در زمان تشکیل آنها رخ داده باشد و یا ممکن است به رانش ژنتیکی تصادفی و یا اثرات

بنیانگذار مرتبط باشد. از آنجا که ژنوم میتوکندری مادری بدون نوترکیبی به ارث می‌رسد انتظار می‌رود که این ژنوم بسیار مستعد ابتلا به حوادث تصادفی همانند رانش ژنتیکی باشد (Bembo *et al.*, 1995). از آنجا که تراز تنوع هاپلوتیپی می‌تواند از صفر (تمام افراد جمعیت دارای هاپلوتیپی یکسان) تا یک (تمام افراد جمعیت دارای هاپلوتیپ متفاوت) متغیر باشد. لیکن Cui و همکاران (۲۰۰۷) در مطالعه مشابه صورت گرفته در میگوی ببری سیاه (Valles-Jimenez *et al.*, 2006) (Penaeus monodon), میگوی سفید غربی (Benzie *et al.*, 2002) (Farfantepenaeus duorarum) و میگوی Litopenaeus setiferus (McMillen-Jackson & Bert, 2004) میزان تنوع هاپلوتیپی ژنوم میتوکندریایی در سطوح متوسط تا بالا گزارش شد، این در حالی بود که این میزان در میگوی چینی (Fenneropenaeus chinensis) در شمال غرب اقیانوس آرام در سطح پائینی (۰/۲۴) در میگوی چینی بود (Kong *et al.*, 2010).

بطور کلی میزان تنوع هاپلوتیپی متوسط تا بالا برای گونه‌های دریایی و به ویژه راسته ده پایان به بزرگ بودن اندازه جمعیت و پراکندگی گستردگی در فواصل زیاد نسبت داده می‌شود که در نهایت به نگهداری بسیاری از هاپلوتیپ‌های منحصر به فرد در طول رشد و پراکنش جمعیت منجر می‌گردد (Bucklin & Wiebe, 1998; Zardoya, 2004). از سوی دیگر اندازه جمعیت مؤثر ممکن است در تواحی مختلف جغرافیایی که پراکنش گونه جریان دارد به دلیل فرآیند پویایی جمعیت در طول تاریخ تغییر کند که این میزان در سطوح تنوع ژنتیکی نیز دستخوش تغییراتی می‌شود. علاوه بر این، پویایی تکاملی (جهش، رانش ژنتیکی، انتخاب طبیعی) که در سطوح مختلف بر وجود تأثیر می‌گذارند نیز ممکن است باعث بروز الگوهای متفاوت تنوع ژنتیکی شوند (De Croos & Palsson, 2010). از دیگر عوامل دخیل در عدم ایجاد تفاوت در تنوع ژنتیکی نسل‌های مختلف میگوهای سفید غربی عاری از بیماری خاص ممکن است ناشی از عدم وجود جدایهای جغرافیایی و عدم وجود فاصله مکانی بین ذخائر مختلف باشد (Wang *et al.*, 2008). عنوان شده که با افزایش فاصله جغرافیایی، فاصله ژنتیکی نیز افزایش خواهد یافت که علت آن ناشی از کاهش جریان‌های ژنی در اثر وجود موائع فیزیکی و یا طبیعی است (Beacham *et al.*, 2004). اصولاً اختلاف ژنتیکی بین جمعیت‌ها در نتیجه مجتمع شدن افراد در یک منطقه به وجود می‌آید و جمعیت‌های یک گونه به واسطه آمیزش درونی با یکدیگر یک مخزن ژنی منحصر به همان جمعیت را ایجاد می‌کنند (Piñera *et al.*, 2007). بنابراین با توجه به نتایج پژوهش حاضر به نظر می‌رسد جابجایی و تبادل جریان ژنی بیشتری بین نسل‌های مختلف میگوی عاری از بیماری خاص وجود داشته است.

از این رو نتایج مطالعه حاضر اولین بررسی در مورد تنوع ژنتیکی و ربطه خویشاوندی نسل‌های مختلف میگوی سفید غربی عاری از بیماری خاص با استفاده از توالی یابی ژنوم میتوکندریایی در منطقه ۱۶S rRNA نشاند داد که نشانگرهای مولکولی به ویژه نشانگرهای میتوکندریایی می‌توانند بصورت ابزاری مناسب در جهت بررسی تنوع و ساختار ژنتیکی جمعیت‌های آبزیان از جمله میگوی سفید غربی مورد استفاده قرار گیرند. همچنین از این گونه نشانگرهای میتوکندریایی می‌توان در گونه‌هایی با خویشاوندی نزدیک و با جد و نیای مشترک به راحتی استفاده کرد. در این

مطالعه مشخص شد که میزان تنوع هاپلوتیپی و نوکلئوتیدی کمی در میان نسل‌های مختلف میگوی سفید غربی عاری از بیماری خاص وجود دارد. از سوی دیگر با توجه به اینکه تنوع ژنتیکی جمعیت‌ها، عاملی مهم و اساسی در تکامل و حفاظت زیستی آنها است، سطوح بالای تنوع ژنتیکی منجر به افزایش توانایی افراد جمعیت در پاسخ انتخاب طبیعی و افزایش بازماندگی آنها خواهد داد (Beacham *et al.*, 2004).

۵- نتیجه گیری

با توجه به نتایج بدست آمده از این مطالعه و سایر مطالعات صورت گرفته در این خصوص اینگونه می‌توان عنوان نمود که ژنوم 16S rRNA میتوکندریایی استفاده شده در این مطالعه در مقایسه با سایر نشانگرهای میتوکندریایی از قبیل منطقه COI و d-loop به دلیل وجود مناطق حافظت شده در این منطقه از ژنوم و کوچک بودن طول این ناحیه از سرعت تکاملی پائین تری برخوردار می‌باشد. از این رو ژنوم این منطقه قادر نیست که تفاوت‌های ژنتیکی میان نسل‌های مختلف یک گونه را نشان دهد. لیکن تنها کاربرد این نشانگر تعیین روابط فیلوزنیک میان گونه‌های مختلف میگوهای خانواده پنائیده با همدیگر یا با سایر موجودات است. بنابراین با توجه به وجود مناطق محافظت شده کمتر در سایر مناطق ژنوم میتوکندریایی همانند منطقه COI و d-loop توصیه می‌گردد که جهت تعیین تفاوت‌های ژنتیکی میان نسل‌های مختلف میگو بصورت درون گونه‌ای از ژنوم‌های فوق استفاده گردد و یا اینکه از روش میکروستلایت جهت تعیین تفاوت‌های ژنتیکی، تنوع ژنتیکی و هتروزیگوستی در نسل‌های مختلف استفاده گردد.

منابع

- ۱- رهنما، ر.، حسینی، س. ج.، قاسمی، س. ا.، یاوری، و.، ذوالقرنین ح. ۱۳۹۰. مقایسه مولکولی اولیه ۱۶S rRNA میتوکندریایی. ژنتیک نوین. ۶(۲). ۳۱-۲۳.
- ۲- سپهرم، م.، حسینی، س. ج. و هاشم نیا، ص. ۱۳۹۲. مقایسه مولکولی میگوی *Penaeus semisulcatus* و زیرگونه آن *P.(penaeus) semisulcatus persicus* با استفاده از ۱۶S rRNA/tRNA با استفاده از ITS-I به عنوان نشانگر ژنومیک و val ۱۶S rRNA/tRNA به عنوان نشانگر میتوکندریایی. پایان نامه کارشناسی ارشد رشته زیست شناسی گرایش سلولی و مولکولی. ۱۰۲ ص.
- ۳- سلحشور، پ.، اصغرزاده، م.، محمدحسینی، ع. ۱۳۸۴. بررسی پلی مورفیسم DNA میتوکندریایی در قوم آذربایجانی به روش PCR - RFLP. مجله علوم پایه پزشکی ایران. ۸(۴)، ۲۳۱-۲۲۶.
- ۴- سوری نژاد، ا.، کشاورزی، ف.، تمدنی جهرمی، س. و وحیدی نژاد، س. ۱۳۹۳. بررسی مقدماتی فیلوزنی و ساختار ژنتیکی میگوی موزی *Fenneropenaeus merguiensis* در خوریات لافت و سیرک خلیج فارس با استفاده از توالی یابی ژن میتوکندریایی ۱۶S rRNA. تاکسونومی و بیوسیستماتیک. ۶(۲۰): ۳۶-۲۳.
- ۵- فریلنده، ج. ۱۳۸۹. بوم شنلی مولکولی. مترجم: منصوره ملکیان. اشارات جهاد دانشگاهی مشهد. ۳۰۴ ص.
- 6- Allegrucci, G., Cesaroni, D., Venanzetti, F., Cataudella, S., Sbordoni, V., 1998. Length variation in mtDNA control region in hatchery stocks of European sea bass subjected to acclimation experiments. Genetics Selection Evolution 30, 1.
- 7- Altschul, S.F., Gish, W., Miller, W., Myers, E.W., Lipman, D.J., 1990. Basic local alignment search tool. Journal of molecular biology 215, 403-410.
- 8- Awadalla, P., Eyre-Walker, A., Smith, J.M., 1999. Linkage disequilibrium and recombination in hominid mitochondrial DNA. Science 286, 2524-2525.
- 9- Baldwin, J.D., Bass, A.L., Bowen, B.W., Clark, W.H., 1998. Molecular Phylogeny and Biogeography of the Marine Shrimp *Penaeus*. Molecular Phylogenetics and Evolution 10, 399-407.
- 10-Ballinger, S.W., Schurr, T.G., Torroni, A., Gan, Y.-Y., Hodge, J.A., Hassan, K., Chen, K.H., Wallace, D.C., 1992. Southeast Asian mitochondrial DNA analysis reveals genetic continuity of ancient mongoloid migrations. Genetics 130, 139-152.
- 11-Beacham, T.D., Lapointe, M., Candy, J.R., McIntosh, B., MacConnachie, C., Tabata, A., Kaukinen, K., Deng, L., Miller, K.M., Withler, R.E., 2004. Stock identification of Fraser River sockeye salmon using microsatellites and major histocompatibility complex variation. Transactions of the American Fisheries Society 133, 1117-1137.
- 12-Beard, C., Hamm, D., Collins, F., 1993. The mitochondrial genome of the mosquito *Anopheles gambiae*: DNA sequence, genome organization, and comparisons with mitochondrial sequences of other insects. Insect molecular biology 2, 103-124.
- 13-Bembo, D., Carvalho, G., Snow, M., Cingolani, N., Pitcher, T., 1996. Stock discrimination among European anchovies, *Engraulis encrasicolus*, by means of PCR-amplified mitochondrial DNA analysis. Oceanographic Literature Review 12, 1274.
- 14-Benzie, J., Ballment, E., Forbes, A., Demetriades, N., Sugama, K., Moria, S., 2002. Mitochondrial DNA variation in Indo-Pacific populations of the giant tiger prawn, *Penaeus monodon*. Molecular Ecology 11, 2553-2569.
- 15-Bucklin, A., Wiebe, P., 1998. Low mitochondrial diversity and small effective population sizes of the copepods *Calanus finmarchicus* and *Nannocalanus minor*: possible impact of climatic variation during recent glaciation. Journal of Heredity 89, 383-392.
- 16-Caló-Mata, P., Pascoal, A., Fernández-No, I., Böhme, K., Gallardo, J.M., Barros-Velázquez, J., 2009. Evaluation of a novel 16S rRNA/tRNA Val mitochondrial marker for the identification and phylogenetic analysis of shrimp species belonging to the superfamily Penaeoidea. Analytical biochemistry 391, 127-134.
- 17-Chawla, H., 2002. Introduction to plant biotechnology. Science Publishers.

- 18-Cui, Z., Li, C.P., Jang, I.K., Chu, K.H., 2007. Lack of genetic differentiation in the shrimp *Penaeus chinensis* in the northwestern Pacific. Biochemical genetics 45, 579-588.
- 19-De Croos, M., Pálsson, S., 2010. Mitochondrial DNA variation and population genetic structure of white shrimp *Fenneropenaeus indicus* along the coastal belt of Sri Lanka. Aquatic Living Resources 23, 315-323.
- 20-FAO, 2014. Fishery and Aquaculture Statistics. Global capture production 1950-2011 (FishstatJ).In: FAO Fisheries and Aquaculture Department [online or CD-ROM]. Rome. Updated.
- 21-Fegan, D., Clifford, H., 2001. Health management for viral diseases in shrimp farms, In: The New Wave, Proceedings of the Special Session on Sustainable Shrimp Culture, Aquaculture, pp. 168-198.
- 22-Felsenstein, J., 1985. Confidence limits on phylogenies: an approach using the bootstrap. Evolution, 783-791.
- 23-Francisco, A.K.d., Galetti Junior, P.M., 2005. Genetic distance between broodstocks of the marine shrimp *Litopenaeus vannamei* (Decapoda, Penaeidae) by mtDNA analyses. Genetics and Molecular Biology 28, 258-261.
- 24-Gusmão, J., Lazoski, C., Solé-Cava, A., 2000. A new species of Penaeus (Crustacea: Penaeidae) revealed by allozyme and cytochrome oxidase I analyses. Marine Biology 137, 435-446.
- 25-Hölzle, U., Chambers, C., Ungar, D., 1991. Optimizing dynamically-typed object-oriented languages with polymorphic inline caches, In: European Conference on Object-Oriented Programming, pp. 21-38.
- 26-Kimura, M., 1980. A simple method for estimating evolutionary rates of base substitutions through comparative studies of nucleotide sequences. Journal of molecular evolution 16, 111-120.
- 27-Klinbunga, S., Penman, D., McAndrew, B., Tassanakajon, A., 1999. Mitochondrial DNA diversity in three populations of the giant tiger shrimp *Penaeus monodon*. Marine Biotechnology 1, 113-121.
- 28-Kong, X.Y., Li, Y.L., Shi, W., Kong, J., 2010. Genetic variation and evolutionary demography of *Fenneropenaeus chinensis* populations, as revealed by the analysis of mitochondrial control region sequences. Genetics and molecular biology 33, 379-389.
- 29-Larkin, M.A., Blackshields, G., Brown, N., Chenna, R., McGgettigan, P.A., McWilliam, H., Valentin, F., Wallace, I.M., Wilm, A., Lopez, R., 2007. Clustal W and Clustal X version 2.0. bioinformatics 23, 2947-2948.
- 30-Lotz, J., 1997. Viruses, biosecurity and specific pathogen-free stocks in shrimp aquaculture. World Journal of Microbiology and Biotechnology 13, 405-413.
- 31-Maggioni, R., Rogers, A.D., Maclean, N., D'Incao, F., 2001. Molecular phylogeny of western Atlantic *Farfantepenaeus* and *Litopenaeus* shrimp based on mitochondrial 16S partial sequences. Molecular Phylogenetics and Evolution 18, 66-73.
- 32-McMillen-Jackson, A.L., Bert, T.M., 2004. Genetic diversity in the mtDNA control region and population structure in the pink shrimp *Farfantepenaeus duorarum*. Journal of Crustacean Biology 24, 101-109.
- 33-Mcmillen-Jackson, A.L., Bert, T.M., 2003. Disparate patterns of population genetic structure and population history in two sympatric penaeid shrimp species (*Farfantepenaeus aztecus* and *Litopenaeus setiferus*) in the eastern United States. Molecular Ecology 12, 2895-2905.
- 34-Meyer, A., 1994. DNA technology and phylogeny of fish. Genetics and evolution of aquatic organisms. Chapman and Hall, London, 219-249.
- 35-Nei, M., 1978. Estimation of average heterozygosity and genetic distance from a small number of individuals. Genetics 89, 583-590.
- 36-Nunan, L., Poulos, B., Lightner, D.V., 1998. The detection of white spot syndrome virus (WSSV) and yellow head virus (YHV) in imported commodity shrimp. Aquaculture 160, 19-30.
- 37-Pascoal, A., Barros-Velázquez, J., Cepeda, A., Gallardo, J.M., Calo-Mata, P., 2008a. Survey of the authenticity of prawn and shrimp species in commercial food products by PCR-RFLP analysis of a 16S rRNA/tRNA Val mitochondrial region. Food chemistry 109, 638-646.
- 38-Pascoal, A., Barros-Velázquez, J., Cepeda, A., Gallardo, J.M., Calo-Mata, P., 2008b. Identification of shrimp species in raw and processed food products by means of a polymerase chain reaction-restriction fragment length polymorphism method targeted to cytochrome b mitochondrial sequences. Electrophoresis 29, 3220-3228.
- 39-Perez-Enriquez, R., Hernández-Martínez, F., Cruz, P., 2009. Genetic diversity status of White shrimp *Penaeus (Litopenaeus) vannamei* broodstock in Mexico. Aquaculture 297, 44-50.
- 40-Piñera, J., Blanco, G., Vázquez, E., Sánchez, J., 2007. Genetic diversity of blackspot seabream (*Pagellus bogaraveo*) populations off Spanish Coasts: a preliminary study. Marine Biology 151, 2153-2158.
- 41-Pruder, G.D., Brown, C.L., Sweeney, J.N., Carr, W.H., 1995. High health shrimp systems: seed supply—theory and practice, In: Swimming through troubled water, Proceedings of the special session on shrimp farming, Aquaculture, pp. 1-4.
- 42-Rozas, J., Sánchez-DelBarrio, J.C., Messeguer, X., Rozas, R., 2003. DnaSP, DNA polymorphism analyses by the coalescent and other methods. Bioinformatics 19, 2496-2497.

- 43-Saitou, N., Nei, M., 1987. The neighbor-joining method: a new method for reconstructing phylogenetic trees. *Molecular biology and evolution* 4, 406-425.
- 44-Sanger, F., Nicklen, S., Coulson, A.R., 1977. DNA sequencing with chain-terminating inhibitors. *Proceedings of the National Academy of Sciences* 74, 5463-5467.
- 45-Sekino, M., Hara, M., Taniguchi, N., 2002. Loss of microsatellite and mitochondrial DNA variation in hatchery strains of Japanese flounder *Paralichthys olivaceus*. *Aquaculture* 213, 101-122.
- 46-Shen, X., Ren, J., Cui, Z., Sha, Z., Wang, B., Xiang, J., Liu, B., 2007. The complete mitochondrial genomes of two common shrimps (*Litopenaeus vannamei* and *Fenneropenaeus chinensis*) and their phylogenomic considerations. *Gene* 403, 98-109.
- 47-Shih, C., Haung, H., Chu, T., Lee, Y., Wang, C., Tzeng, T., 2011. Genetic diversity and historical demography of kuruma shrimp (*Penaeus japonicus*) species complex off China based on mitochondrial DNA analysis. *African Journal of Biotechnology* 10, 1065-1072.
- 48-Simon, C., Franke, A., Martin, A., 1991. The polymerase chain reaction: DNA extraction and amplification, In: *Molecular techniques in taxonomy*. Springer, pp. 329-355.
- 49-Soto-Hernandez, J., Grijalva-Chon, J., 2005. Genetic differentiation in hatchery strains and wild white shrimp *Penaeus (Litopenaeus) vannamei* (Boone, 1931) from northwest Mexico. *Aquaculture International* 12, 593-601.
- 50-Tamura, K., Peterson, D., Peterson, N., Stecher, G., Nei, M., Kumar, S., 2011. MEGA5: molecular evolutionary genetics analysis using maximum likelihood, evolutionary distance, and maximum parsimony methods. *Molecular biology and evolution* 28, 2731-2739.
- 51-Thompson, J.D., Higgins, D.G., Gibson, T.J., 1994. CLUSTAL W: improving the sensitivity of progressive multiple sequence alignment through sequence weighting, position-specific gap penalties and weight matrix choice. *Nucleic acids research* 22, 4673-4680.
- 52-Valles-Jimenez, R., Gaffney, P., Perez-Enriquez, R., 2006. RFLP analysis of the mtDNA control region in white shrimp (*Litopenaeus vannamei*) populations from the eastern Pacific. *Marine Biology* 148, 867-873.
- 53-Wang, H., Kesinger, J.W., Zhou, Q., Wren, J.D., Martin, G., Turner, S., Tang, Y., Frank, M.B., Centola, M., 2008. Identification and characterization of zebrafish ocular formation genes. *Genome* 51, 222-235.
- 54-Zardoya, R., Castilho, R., Grande, C., FAVRE-KREY, L., Caetano, S., Marcato, S., Krey, G., Patarnello, T., 2004. Differential population structuring of two closely related fish species, the mackerel (*Scomber scombrus*) and the chub mackerel (*Scomber japonicus*), in the Mediterranean Sea. *Molecular Ecology* 13, 1785-1798.

Abstract

In this study, after determining history of origin entering white leg shrimp of broodstocks at hatcheries of country, finally, two population of Molokaei and High health were considered as shrimp broodstocks of specific disease free (SPF) zero generation. After inbreeding and cross breeding among adult males and females of two population above, three storage different were produced in the first generation: $H\delta \times M\varphi$, $M\delta \times H\varphi$ and $H\varphi \times H\delta$. The second generation were produced from selective breeding of $M\delta \times H\varphi$. The aim of this study was to determine genetic differences between different generations of specific pathogenic free shrimp by evaluation of 16S rRNA region mitochondrial of different generations. Result of this study showed that of 486 sites have been identified 484 sites were conserved. Also, monomorphic sites ranged between 482 - 486 sites and was consists 2 polymorphic sites and 2 transitional sites. The number haplotypes, haplotypes diversity, nucleotide diversity revealed in this region were 2, 0.356 ± 0.159 and 0.00147 , respectively. Due to the high genetic identify and reduce of genetic distance of shrimp between different generations of SPF shrimp, genetic differentiation and gene flow (Nm) between them were -142 and -2.00 , respectively. This rates clearly shows a low level of polymorphism in this region of mitochondrial of different generation of SPF. This may be occurred because of small effective populations and genetic drift. Thus, offspring had inherited mitochondrial genome from your mother, therefore, it is expected that rate of variation in this genome is influenced by several factors, including genetic drift, due to unavailability of new-broodstock from different areas. It was observed that due to high conservation sites in 16S rRNA region of mitochondrial genome, nothing genetic differentiation was observed among different generations of SPF.

Keyword: *Litopenaeus vannamei*, mitochondrial genome, 16S rRNA, genetic differentiation

Ministry of Jihad – e – Agriculture
AGRICULTURAL RESEARCH, EDUCATION & EXTENSION ORGANIZATION
Iranian Fisheries Science Research Institute – Shrimp Research Center

Project Title : Evalution of genetic different between *Litopenaus vannamei* of different race

Approved Number: 134-80-1252-9352-93001

Author: Mohammad Khalil Pazir

Project Researcher : Mohammad Khalil Pazir, Mohammad Mehdi Simruni

Collaborator(s) : B. Ghaednia, Kh. Aeinjamshid, M. Pourkazemi, A. Matinfar, M. Afsharnasab, Gh. Qharibi, E .Safavi, A.A. Zendehbodi, M. Bohrani, Z. Noroozi, H. Rezaei, M. Shomali

Advisor(s): Ahmad Ghasemi

Supervisor:-

Location of execution : Bushehr Province

Date of Beginning : 2014

Period of execution :2 Years

Publisher : Iranian Fisheries Science Research Institute

Date of publishing : 2017

All Right Reserved . No Part of this Publication May be Reproduced or Transmitted without indicating the Original Reference

**MINISTRY OF JIHAD - E - AGRICULTURE
AGRICULTURAL RESEARCH, EDUCATION & EXTENSION ORGANIZATION
Iranian Fisheries Science Research Institute - Shrimp Research Center**

Project Title :

Evalution of genetic different between *Litopenaus vannamei* of different race

Project Researcher :

Mohammad Khalil Pazir

Register NO.

51096